

Tafeln

Autor(en): **[s.n.]**

Objektyp: **Appendix**

Zeitschrift: **Eclogae Geologicae Helvetiae**

Band (Jahr): **46 (1953)**

PDF erstellt am: **08.08.2024**

Nutzungsbedingungen

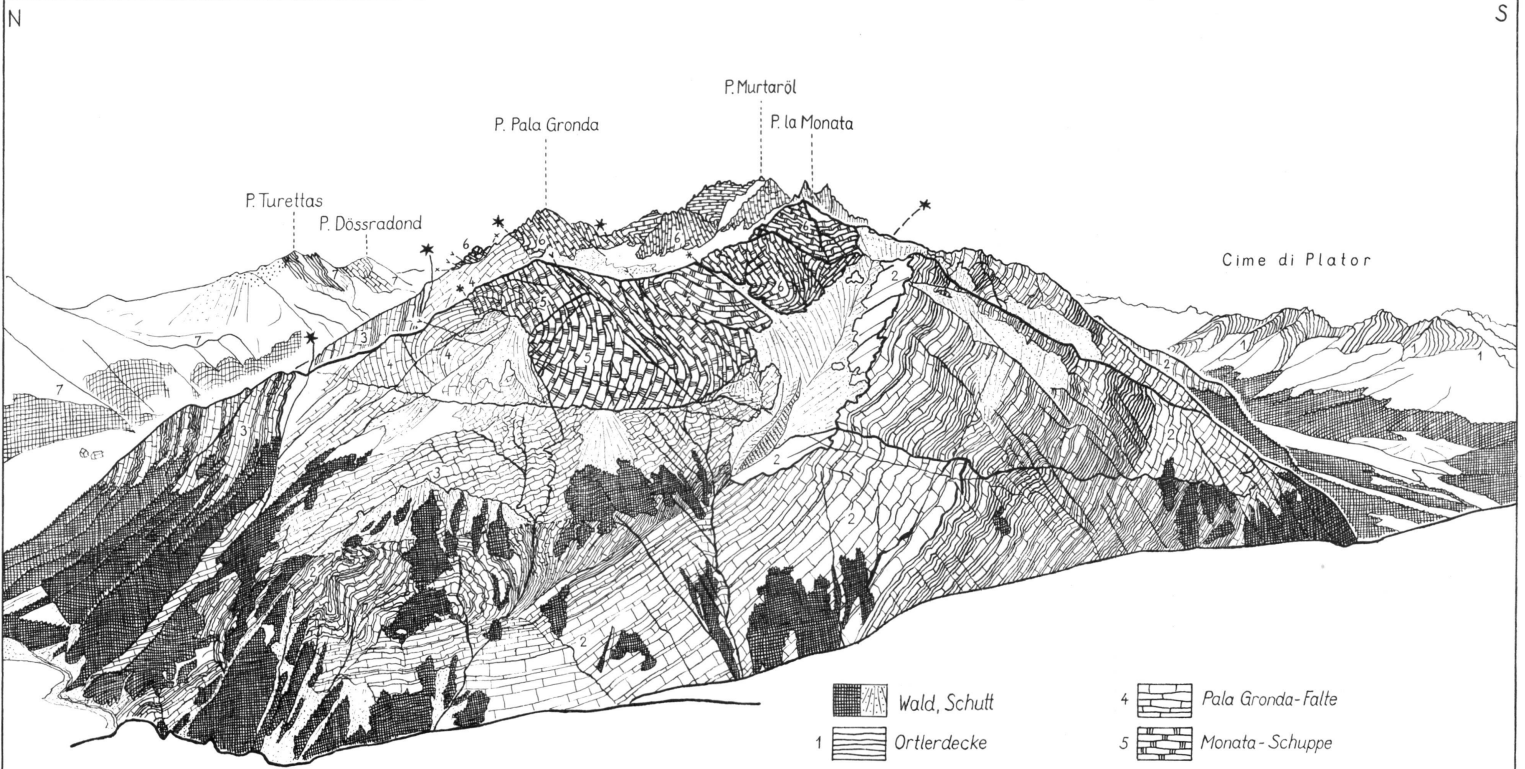
Die ETH-Bibliothek ist Anbieterin der digitalisierten Zeitschriften. Sie besitzt keine Urheberrechte an den Inhalten der Zeitschriften. Die Rechte liegen in der Regel bei den Herausgebern.

Die auf der Plattform e-periodica veröffentlichten Dokumente stehen für nicht-kommerzielle Zwecke in Lehre und Forschung sowie für die private Nutzung frei zur Verfügung. Einzelne Dateien oder Ausdrucke aus diesem Angebot können zusammen mit diesen Nutzungsbedingungen und den korrekten Herkunftsbezeichnungen weitergegeben werden.

Das Veröffentlichen von Bildern in Print- und Online-Publikationen ist nur mit vorheriger Genehmigung der Rechteinhaber erlaubt. Die systematische Speicherung von Teilen des elektronischen Angebots auf anderen Servern bedarf ebenfalls des schriftlichen Einverständnisses der Rechteinhaber.

Haftungsausschluss

Alle Angaben erfolgen ohne Gewähr für Vollständigkeit oder Richtigkeit. Es wird keine Haftung übernommen für Schäden durch die Verwendung von Informationen aus diesem Online-Angebot oder durch das Fehlen von Informationen. Dies gilt auch für Inhalte Dritter, die über dieses Angebot zugänglich sind.

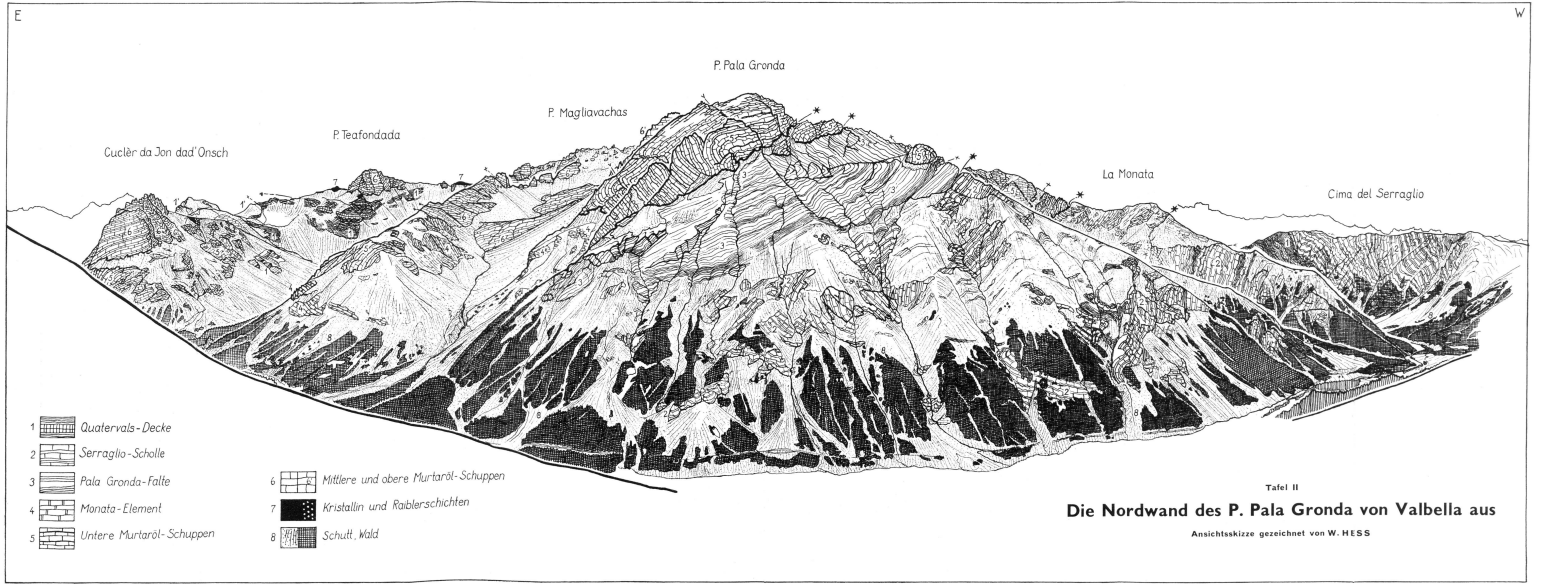


Tafel I

Die Westseite der P. Murtaröl-Gruppe von der Cima del Serraglio aus

Ansichtsskizze gezeichnet von W. HESS

- | | | | |
|---|-------------------|--|---------------------|
| | Wald, Schutt | | 4 Pala Gronda-Falte |
| 1 | Ortlerdecke | | 5 Monata-Schuppe |
| 2 | Quaternals-Decke | | 6 Murtaröl-Schuppen |
| 3 | Serraglio-Scholle | | 7 Scarldecke |



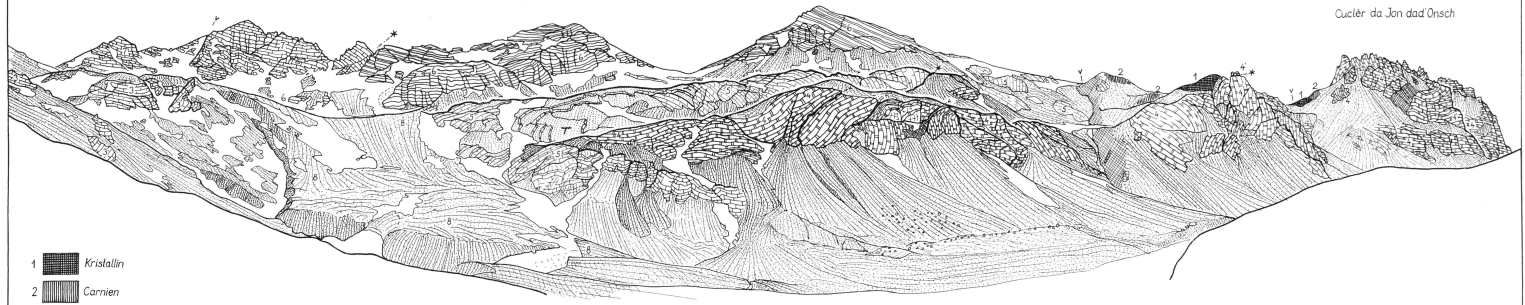
SSE

NNW

P. Schumbraida

Pt. 2944 LK

Cucilèr da Jon dad' Onsch



- | | | | | | |
|---|--|-----------------------------------------------------------------|---|--|----------------------------------------|
| 1 | | Kristallin | 6 | | Verschrifte Teile der Quaternals-Decke |
| 2 | | Carnien | 7 | | Gipfeldolomit des P. Schumbraida |
| 3 | | Heller Hauptdolomit im hintern Val Schumbraida (Zugehörigkeit?) | 8 | | Blockstrom, Schutt |
| 4 | | Jon dad' Onsch - Schuppen | | | |
| 5 | | Lichte Dolomite der Scherbenzone | | | |

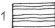
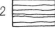


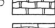
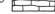
Tafel III
Der Pt. 2944 LK vom hintern Val Schumbraida aus
 Ansichtsskizze gezeichnet von W. HESS

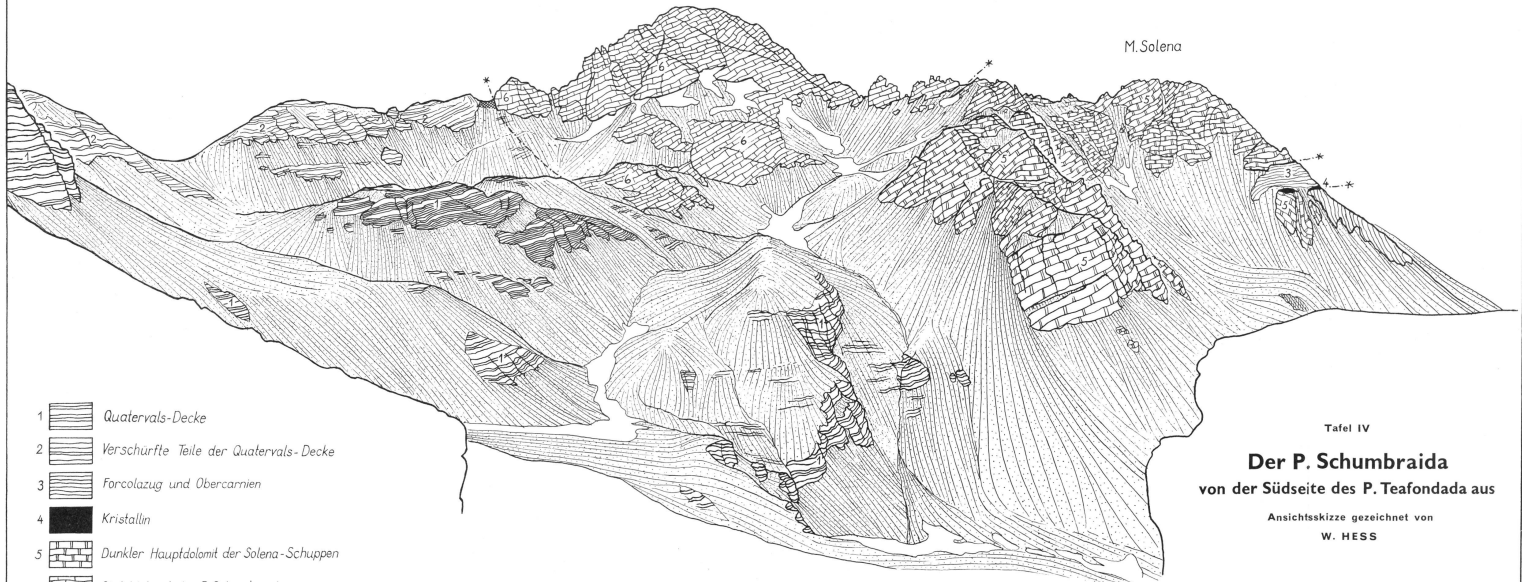
N

S

P. Schumbraida

M. Solena

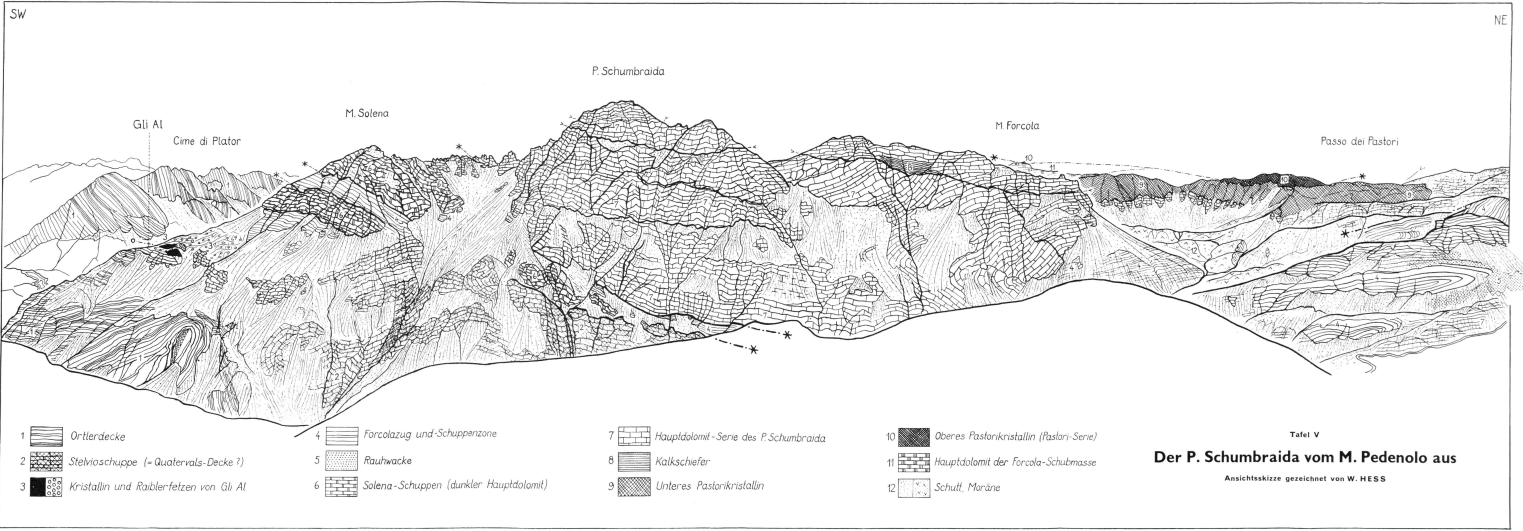
- 1  Quaternals-Decke
- 2  Verschurfte Teile der Quaternals-Decke
- 3  Forcolazug und Obercarriren
- 4  Kristallin
- 5  Dunkler Hauptdolomit der Solena-Schuppen
- 6  Gipfeldolomit des P. Schumbraida



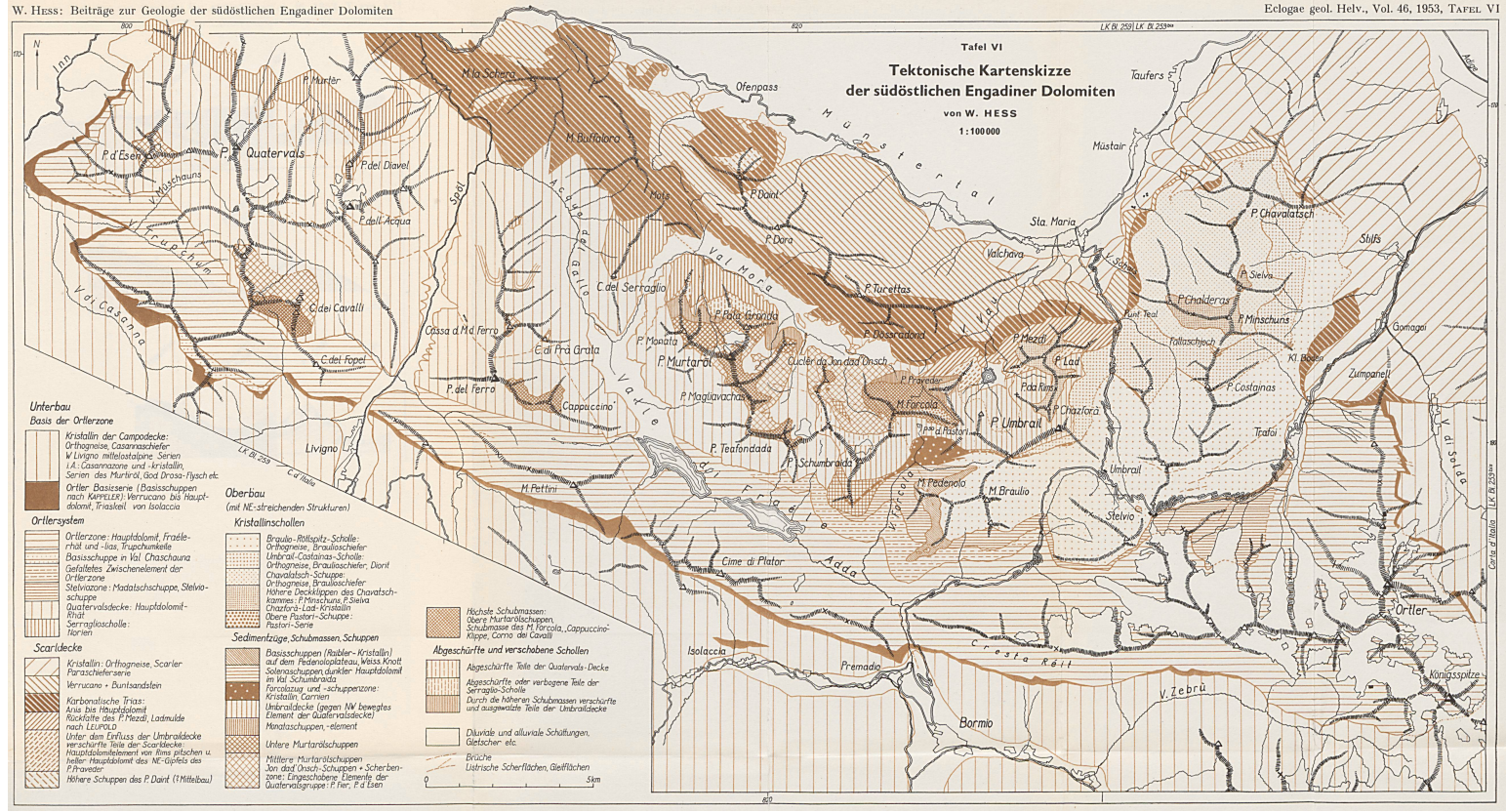
Tafel IV

Der P. Schumbraida
von der Südseite des P. Teafondada aus

Ansichtsskizze gezeichnet von
W. HESS

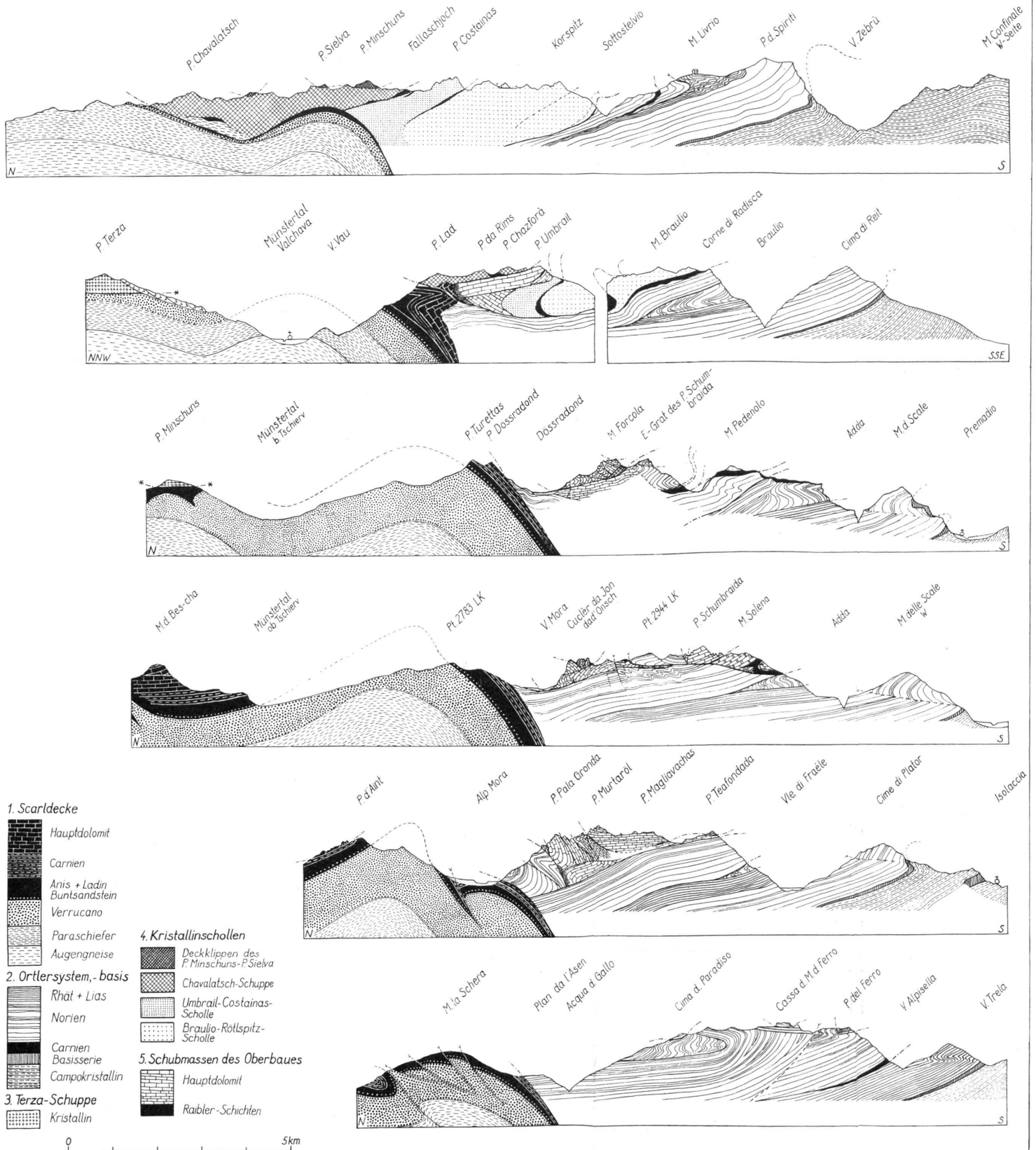


Tafel VI
Tektonische Kartenskizze
der südöstlichen Engadiner Dolomiten
von W. HESS
1:100 000



- Unterbau**
Basis der Ortlerzone
- Kristallin der Campodecke: Orthogneise, Cassaneseer Serie, W. Livigno mittelalpine Serien (A. Cassanone und -Kristallin, Serien des Murterl, das Bras-Flasch et. c.)
 - Ortler-Basisserie (Basisschuppen nach Kereker); Verrucano bis Hauptdolomit, Trasselt, von Isolaccia
- Ortlerzone**
- Ortlerzone: Hauptdolomit, Frazelrhof und -Isas, Truschankelle
 - Basisschuppe in Val Chiuschona
 - Gastaltes Zwischenelement der Ortlerzone
 - Steinkavone: Madatschuppe, Stelvaschuppe
 - Quaternärschale: Hauptdolomit, Trasselt
 - Serragliaschale: Harten
- Ortlersystem**
- Ortlerzone: Hauptdolomit, Frazelrhof und -Isas, Truschankelle
 - Basisschuppe in Val Chiuschona
 - Gastaltes Zwischenelement der Ortlerzone
 - Steinkavone: Madatschuppe, Stelvaschuppe
 - Quaternärschale: Hauptdolomit, Trasselt
 - Serragliaschale: Harten
- Scaridecke**
- Kristallin: Orthogneise, Scarier Parafchieferserie
 - Verrucano + Dunisandstein
 - Karbonsalische Trias: Isas bis Hauptdolomit
 - Rückfalte des P. Meadi, Ladmulde nach Livigno
 - Unter dem Einfluss der Unterwaldschale verschärfte Teile der Scaridecke
 - Hauptdolomit des NE-Gipfels des P. Paveter
 - Höhere Schuppen des P. Dairt (Mittelbau)
- Oberbau**
(mit NE-streichenden Strukturen)
- Kristallinschollen**
- Braulo-Röllspitz-Scholle
 - Orthogneise, Braulochiefer
 - Unterwald-Costaino-Scholle
 - Orthogneise, Braulochiefer, Dairt
 - Charvatal-Schuppe
 - Orthogneise, Braulochiefer
 - Höhere Deckklippen des Charvatalzuges: P. Meschun, P. Sius
 - Charvatal-Lad-Kristallin
 - Oberer Pastor-Schuppe
 - Pastor-Serie
- Sedimentzüge, Schuttmassen, Schuppen**
- Basisschuppen (Kristallin-Kristallin) auf dem Fedenolplateau, Weiss-Krotz
 - Solensschuppen dunkler Hauptdolomit im Val Schustarata
 - Fornclausy und -schuppenzone: Kristallin-Tauern
 - Unterwaldschale (gegen NW bewegtes Element der Quaternärschale)
 - Madatschuppen-element
 - Untere Murtaral-Schuppen
 - Mittlere Murtaral-Schuppen
 - Scherbenzone: Engadiner-Terrasse der Quaternärschuppe P. Fer, P. d. Ean
- Rückfalte Schuttmassen**
Oberer Murtaral-Schuppen, Schuttmasse des P. Forcola, Cappuccino-Kippe, Corna dei Cavali
- Abgeschrägte und verschabene Schollen**
- Abgeschrägte Teile der Quaternärschale
 - Abgeschrägte oder verborgene Teile der Serraglio-Scholle
 - Durch die höheren Schuttmassen verschärft und ausgeweitet: Teile der Unterwaldschale
- Diluviale und alluviale Schaltungen**
- Brüche
 - Listrische Scherflächen, Gleitflächen

Cortina di Braulio



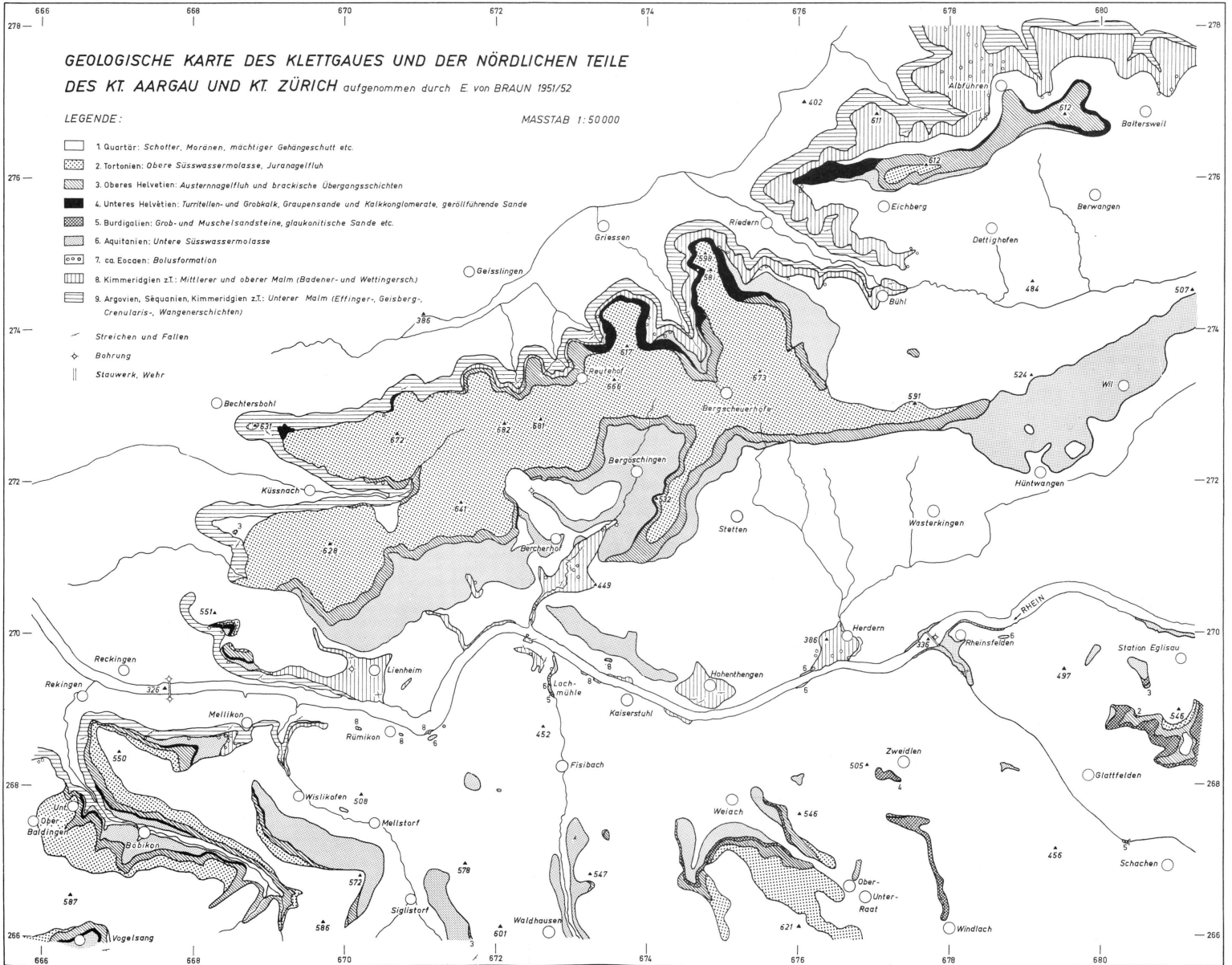
Tafel VII Tektonische Profile durch die südöstlichen Engadiner Dolomiten von W. HESS

**GEOLOGISCHE KORTE DES KLETTGAUES UND DER NÖRDLICHEN TEILE
DES KT. AARGAU UND KT. ZÜRICH** aufgenommen durch E. von BRAUN 1951/52

LEGENDE:

MASSTAB 1:50 000

- 1 Quartär: Schotter, Moränen, mächtiger Gehängeschutt etc.
 - 2 Tortonien: Obere Süßwassermolasse, Juranagefluh
 - 3 Oberes Helvetien: Austernagefluh und brackische Übergangsschichten
 - 4 Unteres Helvetien: Turritellen- und Grabkalk, Graupensande und Kalkkonglomerate, geröllführende Sande
 - 5 Burdigalien: Grab- und Muschelsandsteine, glaukonitische Sande etc.
 - 6 Aquitanien: Untere Süßwassermolasse
 - 7 ca. Eocän: Bolusformation
 - 8 Kimmeridgien z.T.: Mittlerer und oberer Malm (Badener- und Wettingersch.)
 - 9 Argovien, Säuquanien, Kimmeridgien z.T.: Unterer Malm (Epfinger-, Geisberg-, Crenularis-, Wangenschichten)
- Streichen und Fallen
 ◊ Bohrung
 || Stauwerk, Wehr

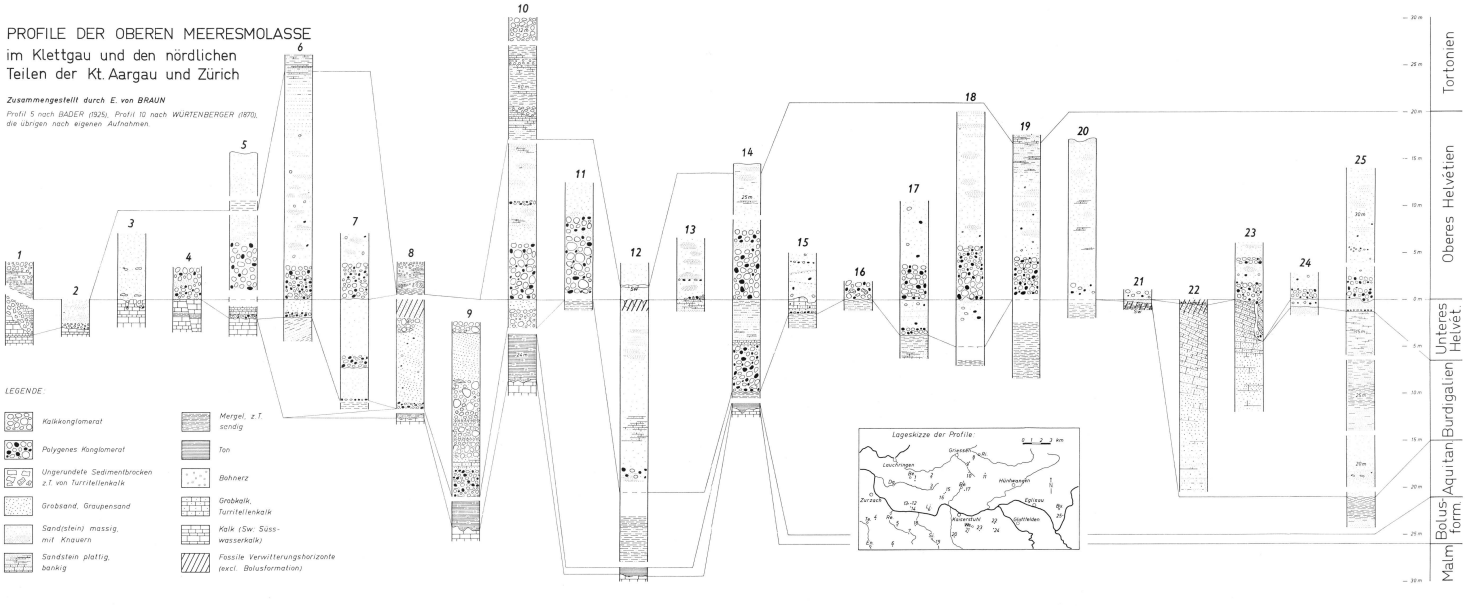


PROFILE DER OBEREN MEERESMASSE
im Klettgau und den nördlichen
Teilen der Kt. Aargau und Zürich

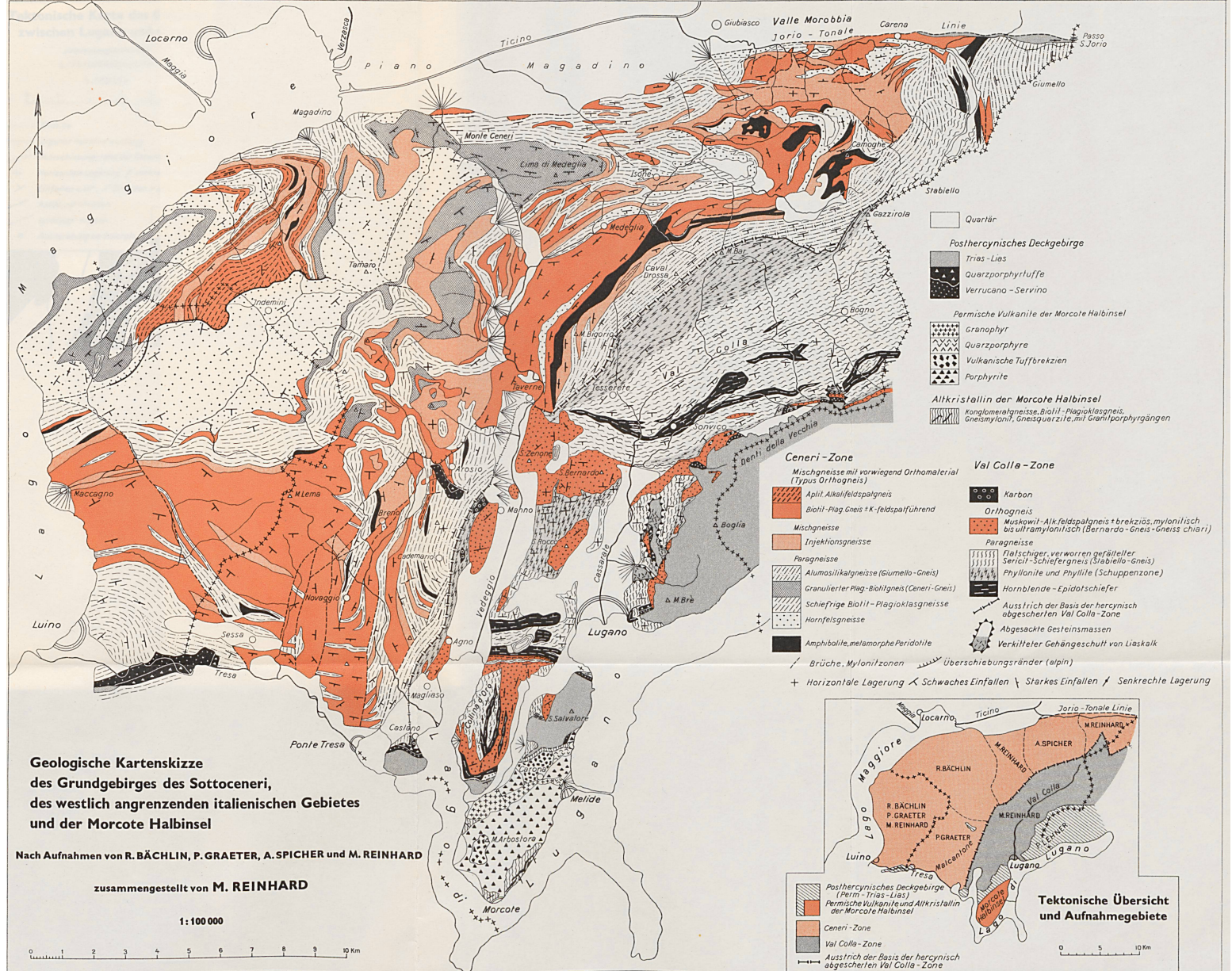
Zusammengestellt durch E. von BRAUN
Profil 5 nach BADER (1926), Profil 10 nach WÜRTEMBERGER (1870),
die übrigen nach eigenen Aufnahmen.

LEGENDE:

- | | |
|--|--|
| | |
| | |
| | |
| | |
| | |
| | |



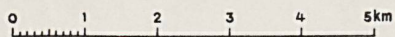
Tortonien
Oberes Helvetien
Unteres Helvet.
Burdigalien
Böhus-Aquitain
Maumform.



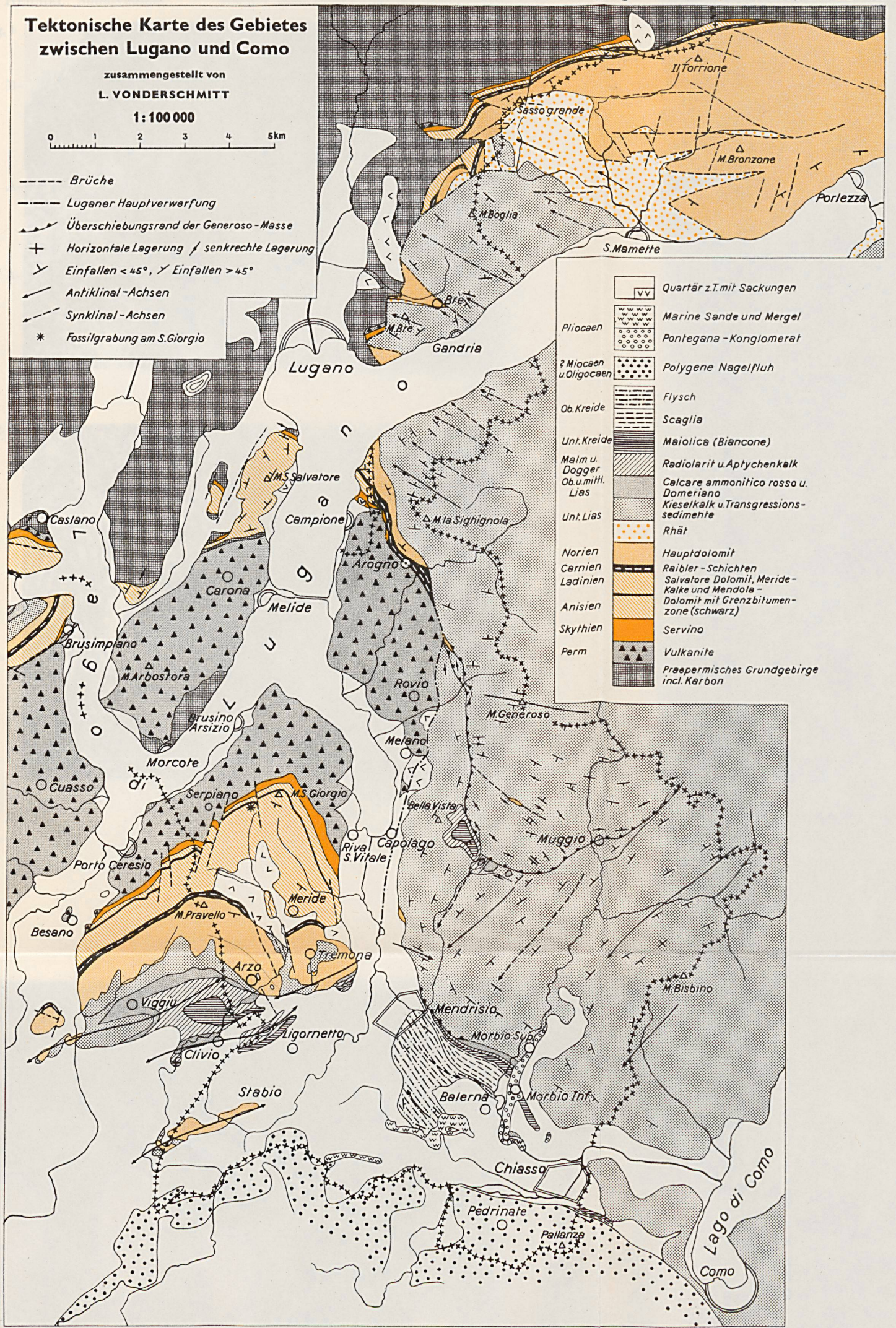
Tektonische Karte des Gebietes zwischen Lugano und Como

zusammengestellt von
L. VONDERSCHMITT

1:100 000



- Brüche
- - - Luganer Hauptverwerfung
- ↗ Überschiebungsrand der Generoso-Masse
- + Horizontale Lagerung / senkrechte Lagerung
- ∠ Einfallen < 45°, ∠ Einfallen > 45°
- ↖ Antiklinal-Achsen
- ↗ Synklinal-Achsen
- * Fossilgrabung am S. Giorgio



	Quartär z.T. mit Sackungen
	Pliocaen Marine Sande und Mergel
	Pontegana-Konglomerat
	2 Mioocaen u. Oligocaen Polygene Nagelfluh
	Ob. Kreide Flysch
	Scaglia
	Unt. Kreide Maiolica (Biancone)
	Malm u. Dogger Radiolarit u. Aptychenkalk
	Ob. u. mittl. Lias Calcare ammonitico rosso u. Domeriano
	Unt. Lias Kieselkalk u. Transgressions-sedimente
	Rhät
	Norien Hauptdolomit
	Carnien Raibler-Schichten
	Ladinien Salvatore Dolomit, Meride-Kalke und Mendola
	Anisien Dolomit mit Grenzbitumenzone (schwarz)
	Skythien Servino
	Perm Vulkanite
	Prepermisches Grundgebirge incl. Karbon

Fig. 1

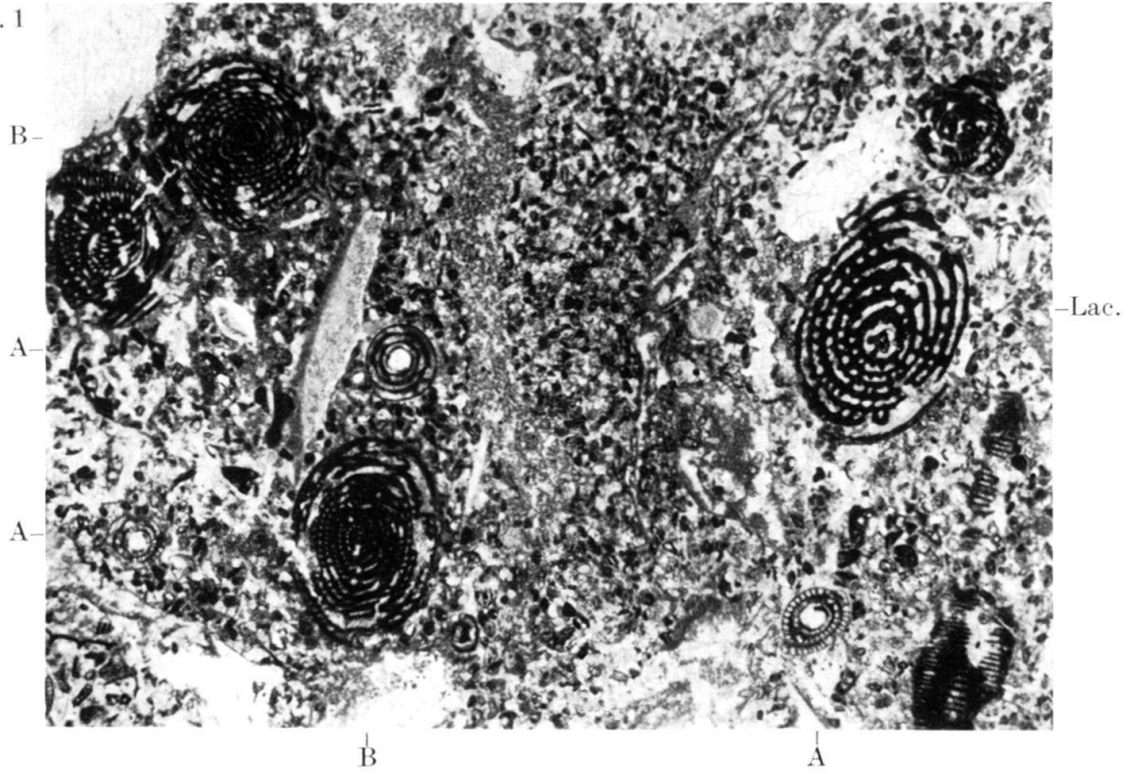


Fig. 2

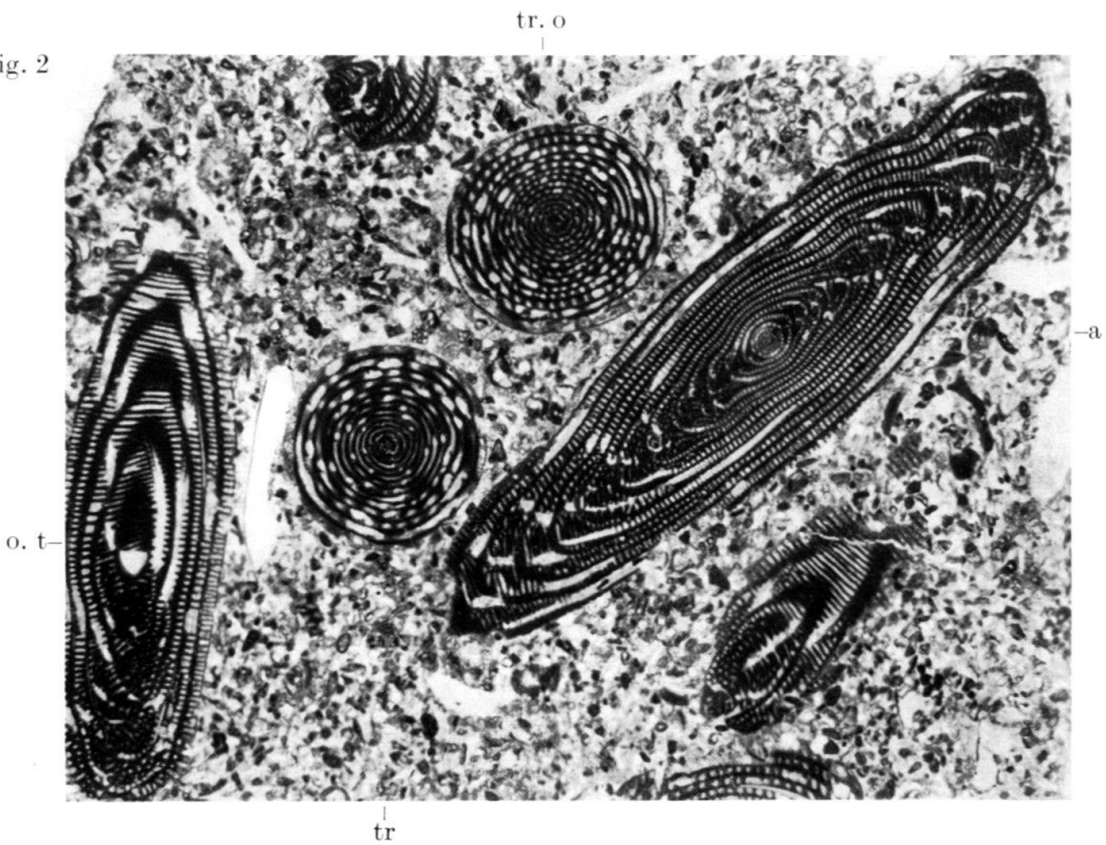


Fig. 1

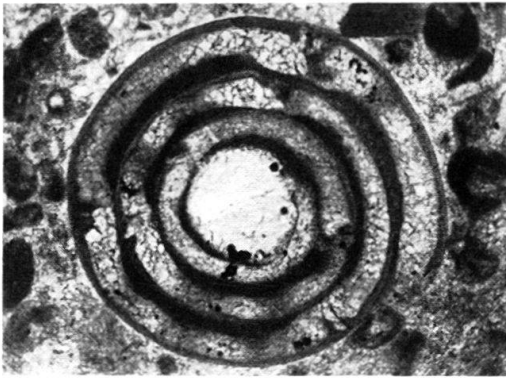


Fig. 2

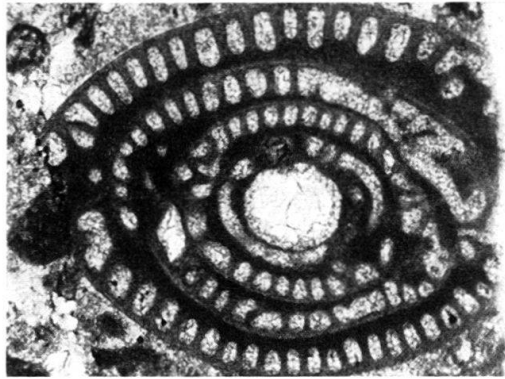


Fig. 3

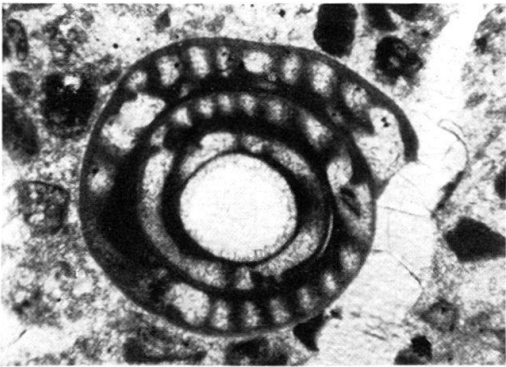


Fig. 4

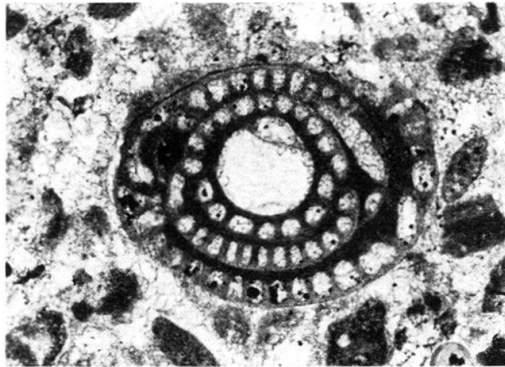
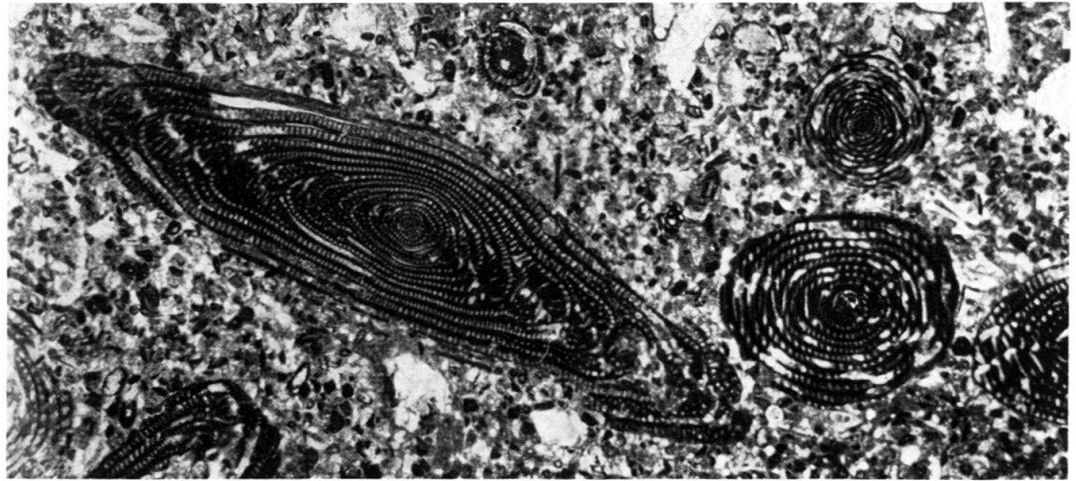


Fig. 5



h

Fig. 6

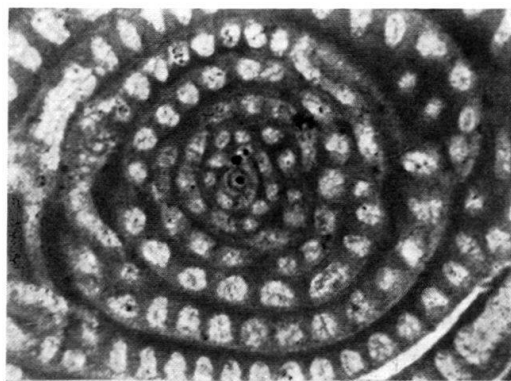
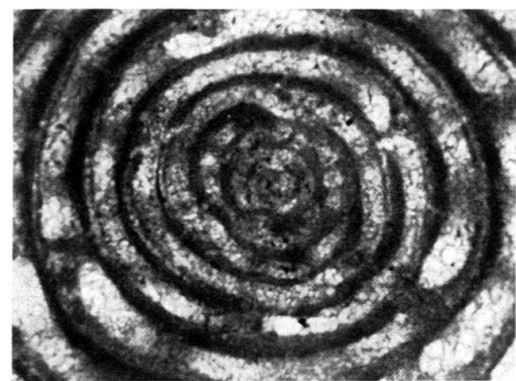
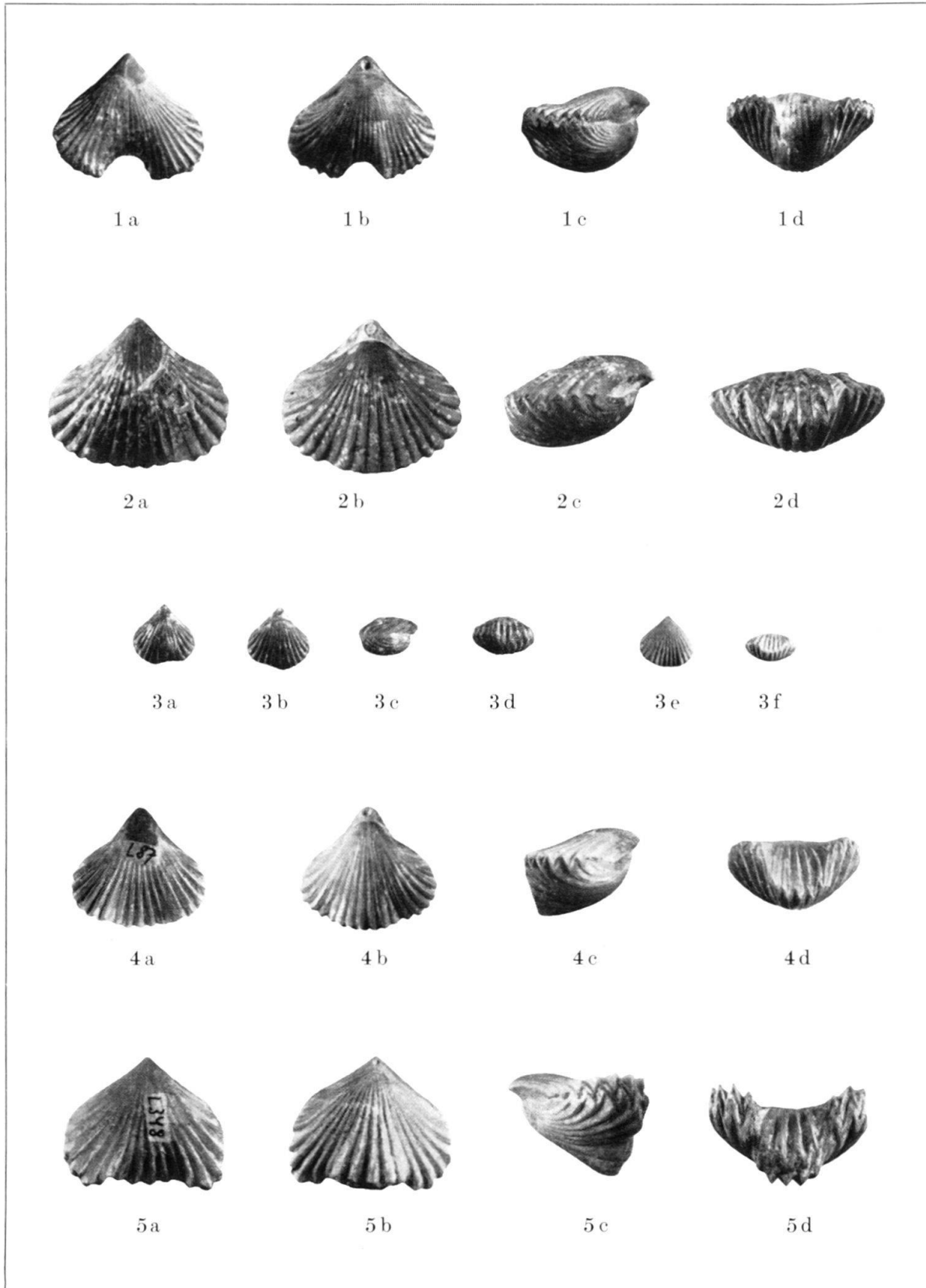


Fig. 7

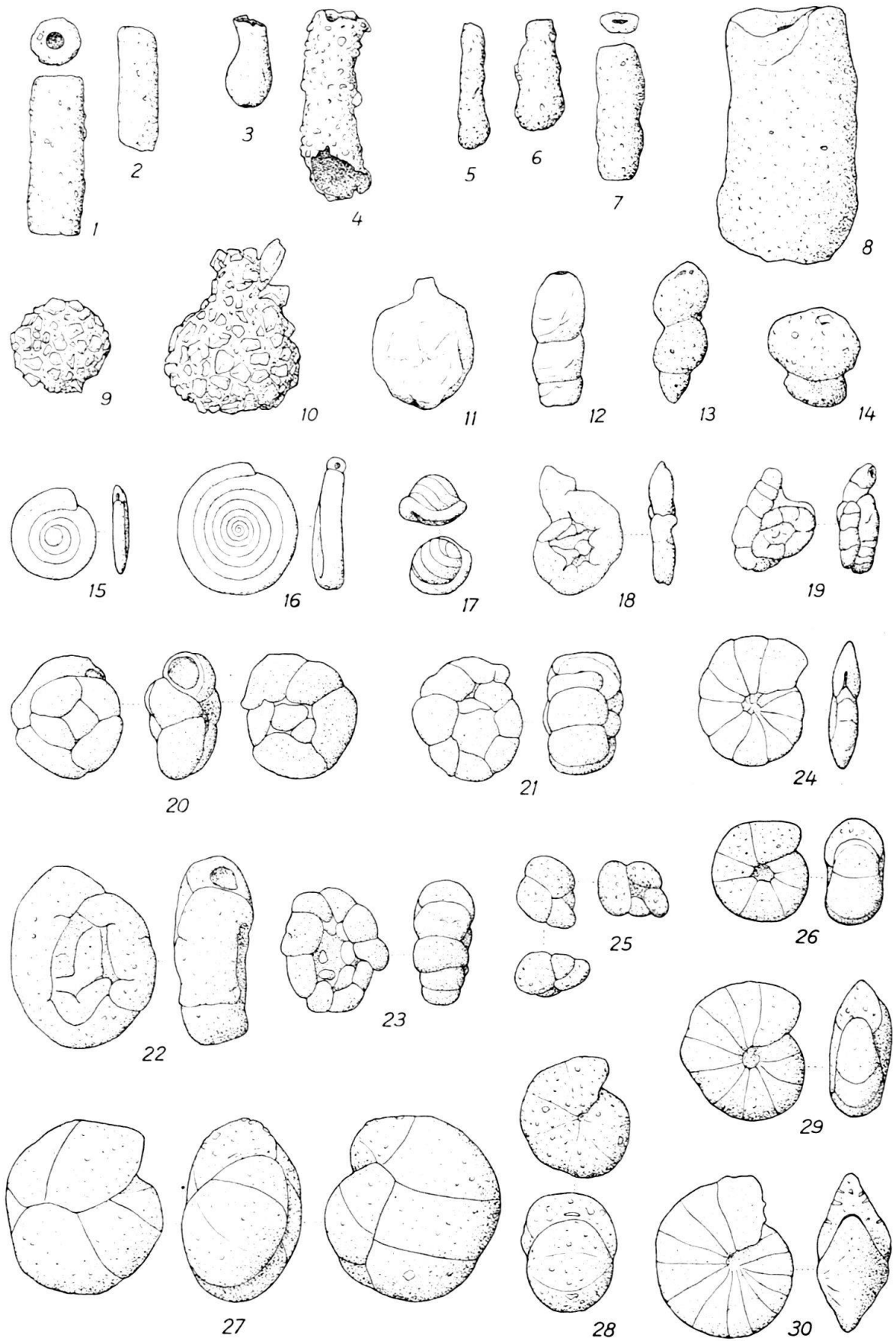




F. B. phot.

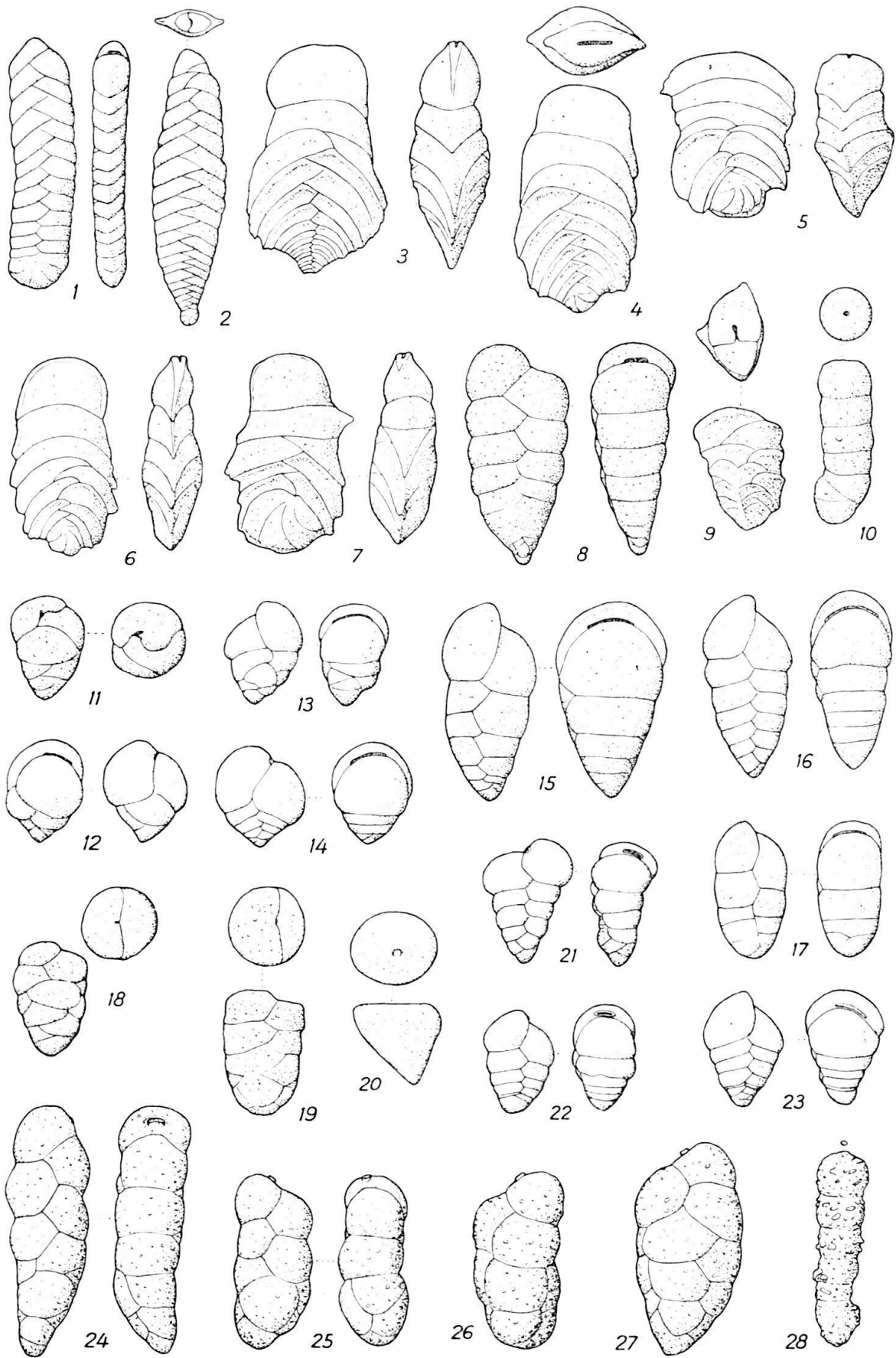
TAFEL XVI

Fig. 1, 2.	<i>Psammosiphonella rzehaki</i> ANDREAE, × 18, Lokalität S. 215.	333
Fig. 3, 4.	<i>Bathysiphon ? irregularis</i> LE ROY, × 10. 3, S. 215. 4, S. 329.	334
Fig. 5–7.	<i>Hyperammina elongata</i> BRADY, × 10. 5, S. 252. 6, S. 914. 7, S. 252.	334
Fig. 8.	<i>Hyperammina friabilis</i> BRADY, × 10, S. 895.	334
Fig. 9, 10.	<i>Psammosphaera fusca</i> SCHULZE, × 18, S. 842.	335
Fig. 11.	<i>Pelosina dubia</i> CUSHMAN & RENZ, × 18, S. 864.	335
Fig. 12.	<i>Hormosina glabra</i> CUSHMAN & STAINFORTH, × 18, S. 903. Fragment.	335
Fig. 13, 14.	<i>Hormosina globulifera</i> BRADY, var. <i>trinitatensis</i> CUSHMAN & RENZ, × 18. 13, S. 215. 14, S. 915.	335
Fig. 15.	<i>Ammodiscus dominicensis</i> BERMUDEZ, × 18, S. 235.	336
Fig. 16.	<i>Ammodiscus glabratus</i> CUSHMAN & JARVIS, × 18, S. 243.	336
Fig. 17.	<i>Glomospira charoides</i> (JONES & PARKER), × 18, S. 211.	336
Fig. 18, 19.	<i>Lituotuba lituiformis</i> (BRADY), × 18. 18, S. 865. 19, S. 235.	336
Fig. 20, 21.	<i>Trochamminoides cf. irregularis</i> WHITE, × 18. 20, S. 787. 21, S. 259.	337
Fig. 22, 23.	<i>Trochamminoides proteus</i> (KARRER), × 18. 22, S. 243. 23, S. 842.	337
Fig. 24.	<i>Haplophragmoides cf. carinatum</i> CUSHMAN & RENZ, × 25, S. 266.	337
Fig. 25.	<i>Haplophragmoides cf. kirki</i> WICKENDEN, × 18, S. 252.	338
Fig. 26.	<i>Haplophragmoides scitulum</i> (BRADY), × 25, S. 255.	338
Fig. 27, 28.	<i>Recurvoides turbinatus</i> (BRADY), × 18. 27, S. 233. 28, S. 842.	338
Fig. 29.	<i>Cyclammina cancellata</i> BRADY, × 18, S. 255.	339
Fig. 30.	<i>Cyclammina deformis</i> GUPPY, × 25, S. 787.	339



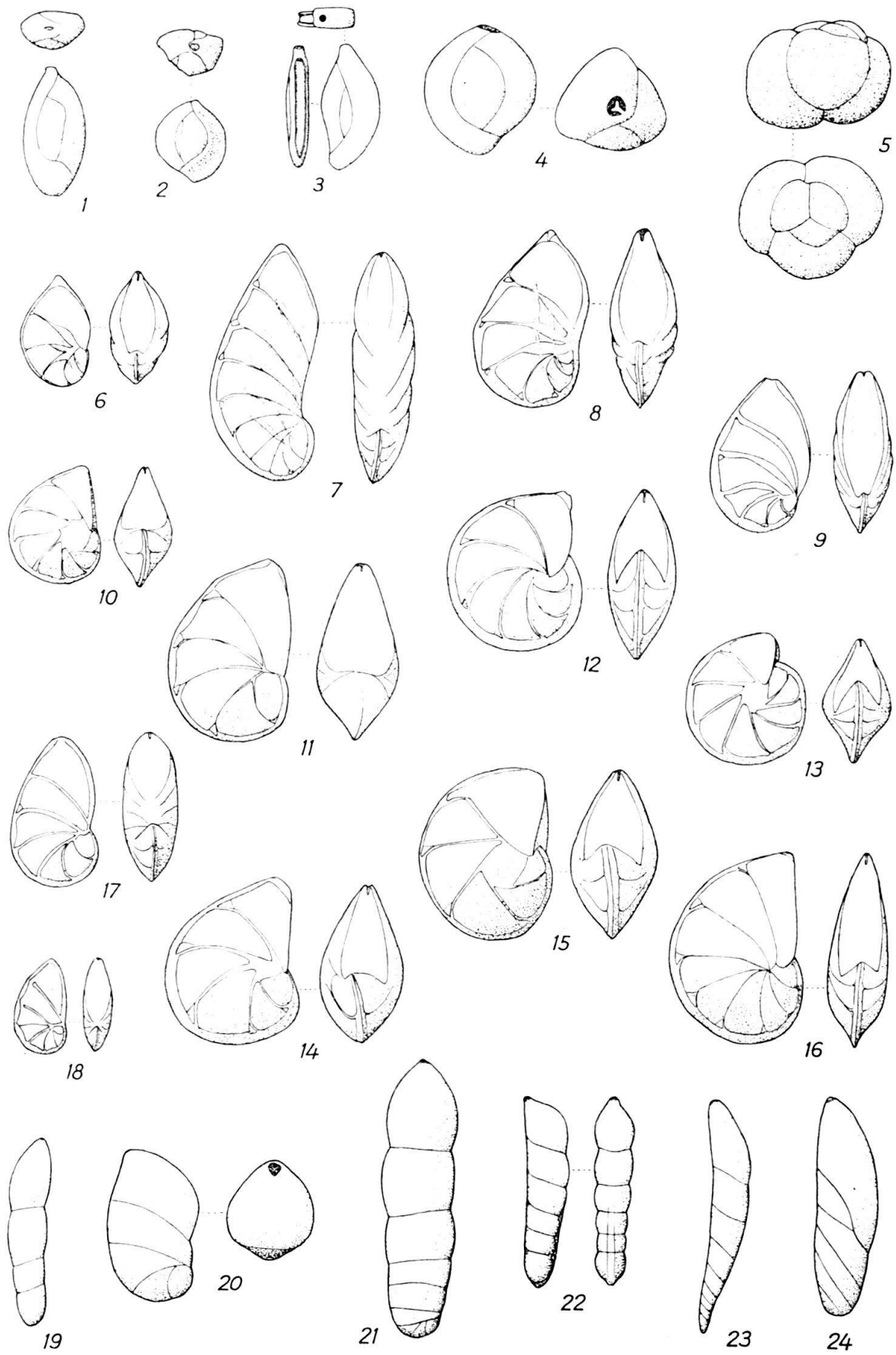
TAFEL XVII

Fig. 1, 2.	<i>Bolivinopsis trinitatensis</i> (CUSHMAN & RENZ), × 18. 1, makrosphärische Form, Lokalität S. 222. 2, mikrosphärische Form, S. 238.	339
Fig. 3–5.	<i>Vulvulina jarvisi</i> CUSHMAN, × 18. 3, S. 987. 4, S. 846. 5, S. P. 208.	340
Fig. 6, 7.	<i>Vulvulina spinosa</i> CUSHMAN, × 18, S. 357. 6, B-Form. 7, A-Form.	340
Fig. 8.	<i>Gaudryina pseudocollinsi</i> CUSHMAN & STAINFORTH, × 18, S. 353.	341
Fig. 9.	<i>Gaudryina jacksonensis</i> CUSHMAN, × 18, S. 1010. Seiten- und Mündungsansicht.	340
Fig. 10.	<i>Pseudoclavulina</i> sp. ind., × 10, S. 850.	341
Fig. 11.	<i>Makarskiana trochoidea</i> VAN SOEST, × 18, S. 788. Seiten- und Mündungsansicht.	341
Fig. 12.	<i>Eggerella bradyi</i> (CUSHMAN), × 18, S. P. 208.	342
Fig. 13.	<i>Dorothia</i> sp. ind., × 18, S. 225.	342
Fig. 14.	<i>Dorothia brevis</i> CUSHMAN & STAINFORTH, × 18, S. 834.	342
Fig. 15–17.	<i>Dorothia biformis</i> FINLAY, × 18. 15, B-Form, S. 1118. 16, B-Form, S. 871. 17, A-Form, S. 353.	342
Fig. 18.	<i>Dorothia colei</i> (NUTTALL), × 18, S. 1009. Seiten- und Mündungsansicht.	343
Fig. 19.	<i>Dorothia nipeensis</i> KEIJZER, × 18, S. P. 210. Seiten- und Mündungsansicht.	343
Fig. 20.	<i>Goësella</i> sp. ind., × 18, S. 247. Seiten- und Mündungsansicht.	343
Fig. 21.	<i>Karrieriella baccata</i> (SCHWAGER), × 18, S. 834.	344
Fig. 22.	<i>Karrieriella bradyi</i> (CUSHMAN), × 18, S. 834.	344
Fig. 23.	<i>Karrieriella grammostomata</i> (GALLOWAY & WISSLER), × 18, S. 910.	344
Fig. 24.	<i>Karrieriella hantkeniana</i> CUSHMAN, × 18, S. 896.	344
Fig. 25, 26.	<i>Karrieriella subcylindrica</i> (NUTTALL), × 18. 25, S. 831. 26, S. P. 205.	345
Fig. 27.	<i>Karrieriella washingtonensis</i> RAU, × 18, S. 833.	345
Fig. 28.	<i>Schenckiella petrosa</i> (CUSHMAN & BERMUDEZ), × 18, S. 870. Der kleine Kreis gibt die Form der Mündung im gleichen Maßstab an.	345



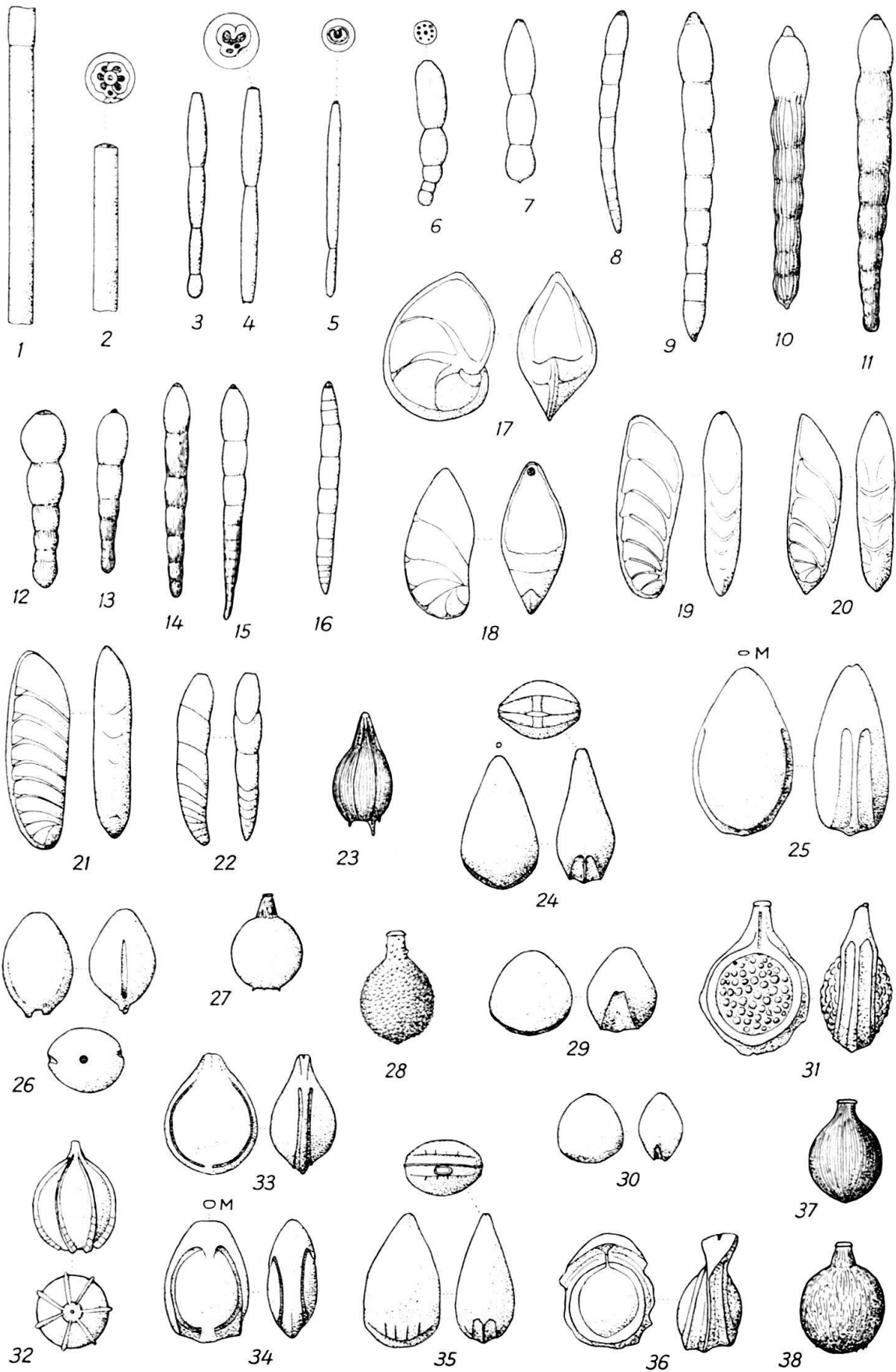
TAFEL XVIII

Fig. 1.	<i>Quinqueloculina moodysensis</i> CUSHMAN & TODD, × 25, Lokalität S. 247. Seiten- und Mündungsansicht.	345
Fig. 2.	<i>Quinqueloculina parvatriangularis</i> HUSSEY, × 35, S. 867. Seiten- und Mündungsansicht.	345
Fig. 3.	<i>Sigmoilina tenuis</i> (CZJZEK), × 35, S. 835. Die letzte Kammer ist längs der Kante aufgebrochen.	346
Fig. 4.	<i>Triloculina trigonula</i> (LAMARCK), × 25, S. 855.	346
Fig. 5.	<i>Trochammina globigeriniformis</i> (PARKER & JONES), var. <i>altiformis</i> CUSHMAN & RENZ, × 18, S. 867.	346
Fig. 6, 7.	<i>Cristellaria mexicana</i> CUSHMAN, × 18. 6, S. 910. 7, S. 800.	347
Fig. 8.	<i>Cristellaria mexicana</i> CUSHMAN, var. <i>alticostata</i> (CUSHMAN & BARNSDALE), × 18, S. 867.	347
Fig. 9.	<i>Cristellaria mexicana</i> CUSHMAN, var. <i>nudicostata</i> CUSHMAN & HANNA, × 18, S. P. 209.	347
Fig. 10, 11.	<i>Cristellaria oblonga</i> (CORYELL & RIVERO). 10, × 10, S. 987. 11, × 18, S. 822.	347
Fig. 12.	<i>Cristellaria occidentalis</i> CUSHMAN, × 18, S. 248.	348
Fig. 13.	<i>Cristellaria occidentalis</i> CUSHMAN, var. <i>glabrata</i> CUSHMAN, × 10, S. 805.	348
Fig. 14, 15.	<i>Cristellaria occidentalis</i> CUSHMAN, var. <i>torrida</i> CUSHMAN, × 18. 14, S. 802. 15, S. 238.	348
Fig. 16.	<i>Cristellaria occidentalis</i> CUSHMAN, flache Varietät, × 18, S. 986.	348
Fig. 17.	<i>Cristellaria variata</i> (HUSSEY), × 18, S. 781.	349
Fig. 18.	<i>Cristellaria</i> sp. ind., × 18, S. 220.	349
Fig. 19.	<i>Marginulina alazanensis</i> NUTTALL, × 18, S. 846.	349
Fig. 20.	<i>Marginulina glabra</i> D'ORBIGNY, var. <i>obesa</i> CUSHMAN, × 18, S. 829. Seiten- und Mündungsansicht. Die Mündung ist abgebrochen.	349
Fig. 21.	<i>Marginulina subrecta</i> FRANKE, × 18, S. 896.	349
Fig. 22.	<i>Dentalina</i> cf. <i>inepta</i> CUSHMAN, × 18, S. 862.	350
Fig. 23.	<i>Dentalina mucronata</i> NEUGEBOREN, × 18, S. 910.	350
Fig. 24.	<i>Dentalina paradoxa</i> HUSSEY, × 18, S. 896.	350



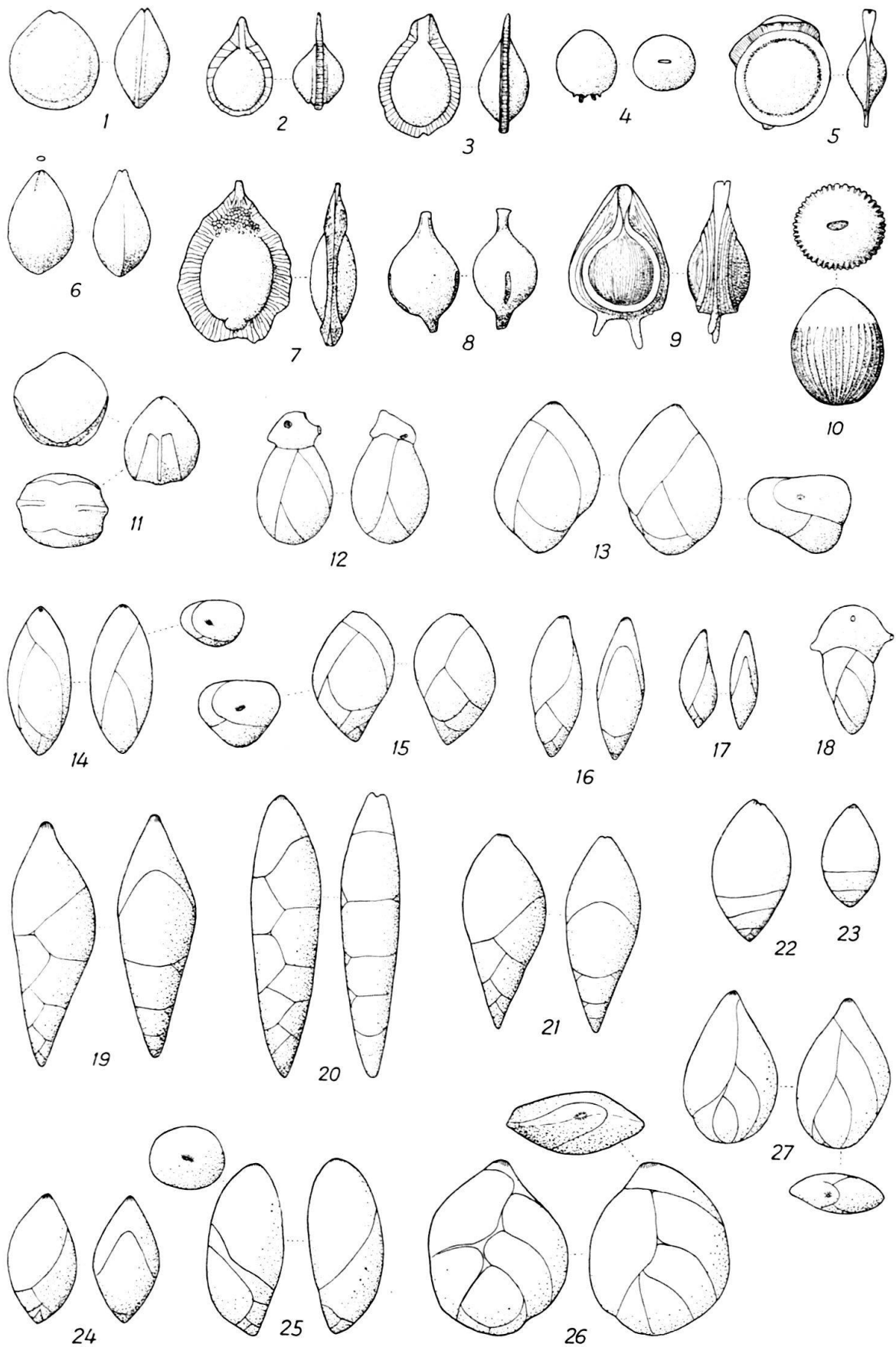
TAFEL XIX

Fig. 1–5.	<i>Nodosaria</i> ? <i>longiscata</i> D'ORBIGNY, × 10, Fragmente. 1, Lokalität S. 1093. 2, Mündung × 20, S. 1093. 3, S. 866. 4, Mündung × 35, S. 866. 5, Mündung × 35, S. 848.	350
Fig. 6.	<i>Chrysalogonium asperum</i> CUSHMAN & STAINFORTH, × 10, S. 1093.	351
Fig. 7.	<i>Chrysalogonium elongatum</i> CUSHMAN & JARVIS, × 10, S. 929.	351
Fig. 8.	<i>Chrysalogonium laeve</i> CUSHMAN & BERMUDEZ, × 10, S. 867.	352
Fig. 9.	<i>Chrysalogonium lanceolum</i> CUSHMAN & JARVIS, × 18, S. 829.	352
Fig. 10, 11.	<i>Chrysalogonium longicostatum</i> CUSHMAN & JARVIS. 10, × 18, S. 240. 11, × 10, S. 353.	352
Fig. 12–15.	<i>Chrysalogonium tenuicostatum</i> CUSHMAN & BERMUDEZ. 12, × 18, S. 839. 13, 14, × 10, S. 841. 15, × 10, S. 836.	352
Fig. 16.	<i>Chrysalogonium</i> sp. ind., × 10, S. 866.	353
Fig. 17.	<i>Saracenaria arcuata</i> (D'ORBIGNY), var. <i>ampla</i> CUSHMAN & TODD, × 18, S. 836.	353
Fig. 18.	<i>Saracenaria hantkeni</i> CUSHMAN, × 18, S. 930. Unvollständig erhaltenes Exemplar mit abgebrochener letzter Kammer.	353
Fig. 19, 20.	<i>Vaginulina subtilius</i> (NUTTALL), × 18. 19, S. 437. 20, S. 822.	353
Fig. 21.	<i>Vaginulina subtilius</i> (NUTTALL), var. <i>multicamerata</i> (CUSHMAN & STAINFORTH), × 18, S. 1096.	354
Fig. 22.	<i>Vaginulina</i> sp. ind., × 18, S. 822.	354
Fig. 23.	<i>Lagena advena</i> CUSHMAN, × 18, S. 355.	354
Fig. 24.	<i>Lagena alveolata</i> BRADY, × 25, S. 215. Vorder-, Seiten- und Basalansicht. Der kleine Kreis über der Vorderansicht gibt die Form und Grösse der Mündung an.	355
Fig. 25.	<i>Lagena alveolata</i> BRADY, elliptische Varietät, × 25, S. 847.	355
Fig. 26.	<i>Lagena alveolata</i> BRADY, var. <i>caudigera</i> BRADY, × 18, S. 208. Vorder-, Seiten- und Mündungsansicht.	355
Fig. 27.	<i>Lagena aspera</i> REUSS, var. <i>spinifera</i> CHAPMAN, × 18, S. 732.	355
Fig. 28.	<i>Lagena asperoides</i> GALLOWAY & MORREY, × 18, S. 833.	355
Fig. 29, 30.	<i>Lagena castanea</i> FLINT. 29, × 25, S. 220. 30, × 18, S. 355.	356
Fig. 31.	<i>Lagena castrensis</i> SCHWAGER, × 25, S. P. 208.	356
Fig. 32.	<i>Lagena ciperensis</i> CUSHMAN & STAINFORTH, × 25, S. 247. Seiten- und Mündungsansicht.	356
Fig. 33, 34.	<i>Lagena crebra</i> MATTHES, var. <i>scissa</i> MATTHES. 33, × 18, S. 833. 34, × 25, S. 218.	356
Fig. 35.	<i>Lagena</i> cf. <i>fimbriata</i> BRADY, × 35, S. 867. Vorder-, Seiten- und Basalansicht.	356
Fig. 36.	<i>Lagena flintiana</i> CUSHMAN, var. <i>indomita</i> (CUSHMAN & STAINFORTH), × 25, S. 218.	357
Fig. 37.	<i>Lagena gracilicosta</i> REUSS, × 18, S. 795.	357
Fig. 38.	<i>Lagena gracilicosta</i> REUSS, unregelmässig gerippte Varietät, × 18, S. 911.	357



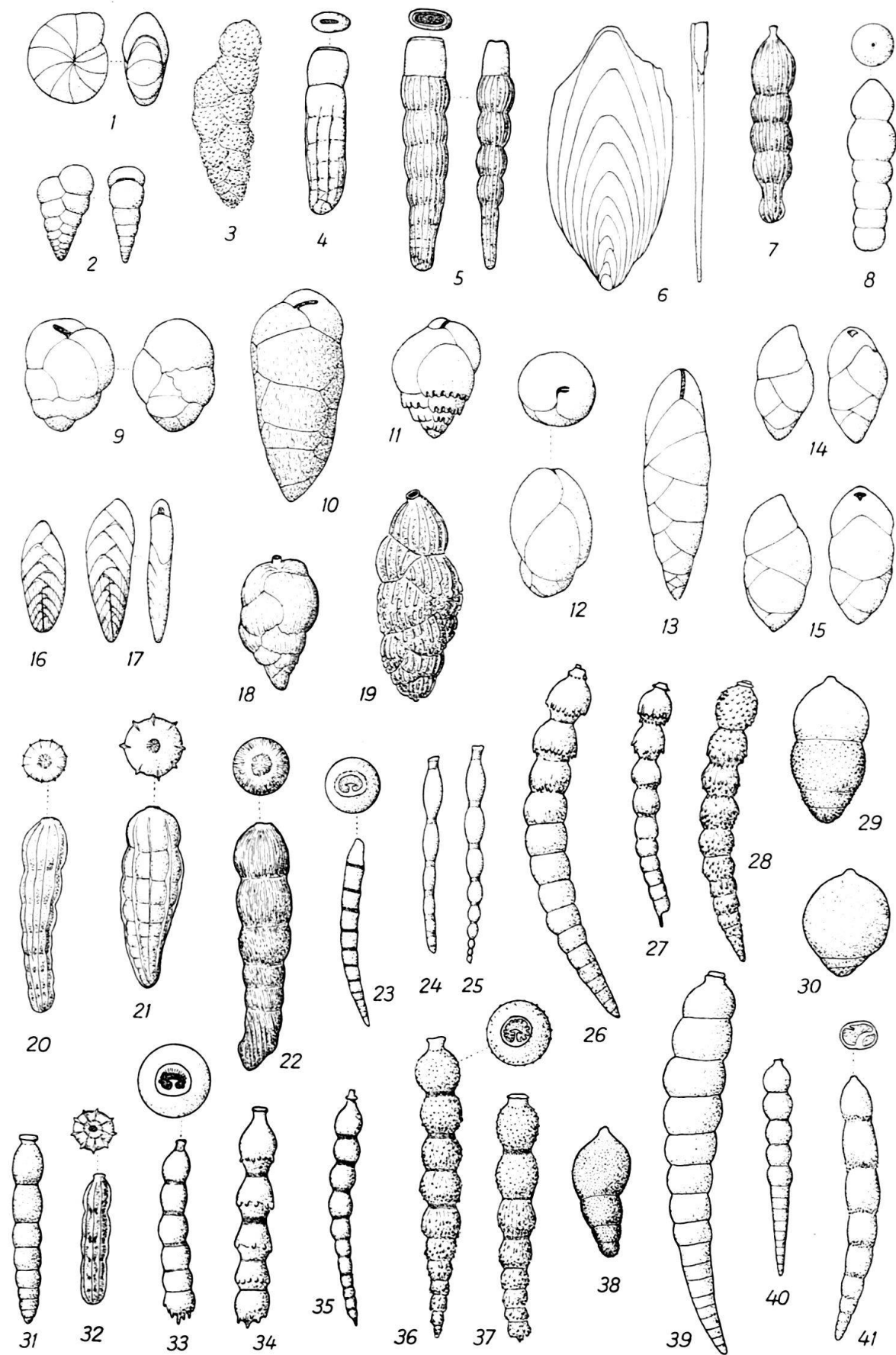
TAFEL XX

Fig. 1.	<i>Lagena laevigata</i> (REUSS), × 18, Lokalität S. 834.	357
Fig. 2, 3.	<i>Lagena lagenoides</i> (WILLIAMSON), × 25. 2, S. 218. 3, S. 352.	358
Fig. 4.	<i>Lagena longispina</i> BRADY, × 18, S. 745. Seiten- und Mündungsansicht.	358
Fig. 5.	<i>Lagena marginata</i> (WALKER & BOYS), × 18, S. 436.	358
Fig. 6.	<i>Lagena obscurocostata</i> (GALLOWAY & WISSLER), × 25, S. 233. Die kleine Ellipse über der Vorderansicht zeigt die Form der Mündung.	359
Fig. 7.	<i>Lagena pulcherrima</i> CUSHMAN & JARVIS, var. <i>enitens</i> CUSHMAN & STAINFORTH, × 18, S. 353.	359
Fig. 8.	<i>Lagena rutschi</i> CUSHMAN & STAINFORTH, × 25, S. 353.	359
Fig. 9.	<i>Lagena scarenaensis</i> HANTKEN, var. <i>glabrata</i> SELLI, × 18, S. 357.	359
Fig. 10.	<i>Lagena sculpturata</i> (CUSHMAN & BERMUDEZ), × 18, S. 438.	359
Fig. 11.	<i>Lagena spinolaminata</i> (CUSHMAN & STAINFORTH), × 18, S. 438.	360
Fig. 12.	<i>Guttulina communis</i> (D'ORBIGNY), × 18, S. 896.	360
Fig. 13.	<i>Guttulina frankei</i> CUSHMAN & OZAWA, × 18, S. 820.	360
Fig. 14.	<i>Guttulina lehneri</i> CUSHMAN & OZAWA, × 18, S. 829.	360
Fig. 15.	<i>Guttulina sororia</i> (REUSS), × 10, S. 856.	361
Fig. 16, 17.	<i>Pyrulina cylindroides</i> (ROEMER), var. <i>curvatura</i> CUSHMAN & STAINFORTH, × 25. 16, S. 235. 17, S. 866.	361
Fig. 18.	<i>Pyrulina extensa</i> (CUSHMAN), × 25, S. 208.	361
Fig. 19–21.	<i>Pyrulinoides antilleanus</i> n. sp., × 18. 19. Holotyp, S. 867. 20, S. 822. 21, S. 725.	361
Fig. 22, 23.	<i>Glandulina laevigata</i> (D'ORBIGNY), × 18. 22, B-Form, S. P. 204. 23, A-Form, S. 244.	362
Fig. 24, 25.	<i>Pseudopolymorphina ovalis</i> CUSHMAN & OZAWA, × 18. 24, S. 870. 25, S. 871.	363
Fig. 26.	<i>Sigmomorphina flintii</i> (CUSHMAN), × 18, S. 858.	363
Fig. 27.	<i>Sigmomorphina trinitatensis</i> CUSHMAN & OZAWA, × 18, S. 886.	363



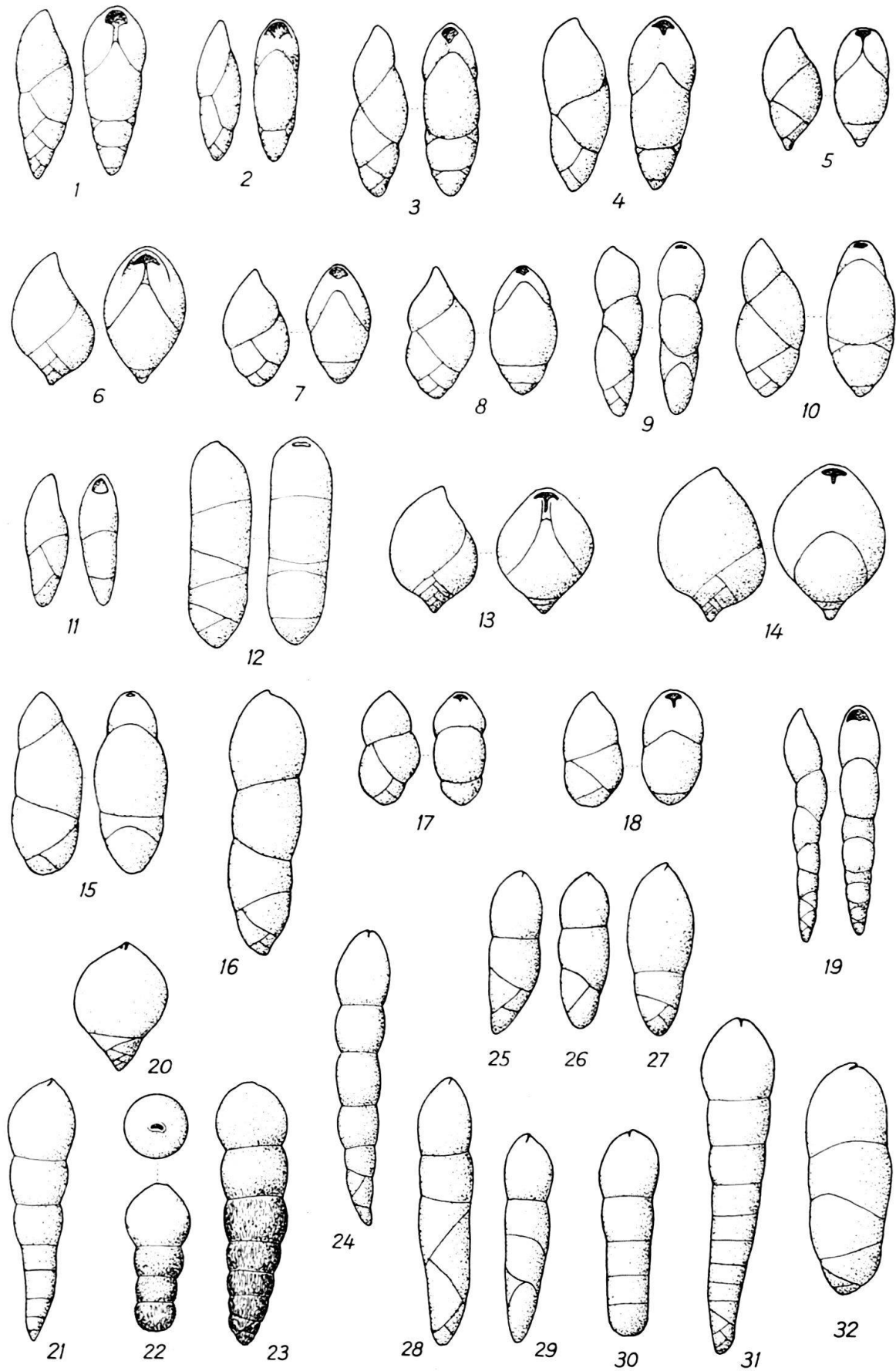
TAFEL XXI

Fig. 1.	<i>Nonion havanense</i> CUSHMAN & BERMUDEZ, × 25, Lokalität S. 355.	363
Fig. 2.	<i>Gümbelina cubensis</i> PALMER, × 50, S. 1073.	364
Fig. 3.	<i>Rectogümbelina inopinata</i> CUSHMAN & STAINFORTH, × 50, S. 835.	364
Fig. 4.	<i>Plectofrondicularia lirata</i> BERMUDEZ, × 18, S. 188.	364
Fig. 5.	<i>Plectofrondicularia trinitatensis</i> CUSHMAN & JARVIS, × 10, S. 243.	365
Fig. 6.	<i>Plectofrondicularia vaughani</i> CUSHMAN, × 35, S. 831.	365
Fig. 7.	<i>Orthomorphina havanensis</i> (CUSHMAN & BERMUDEZ), × 35, S. 835.	365
Fig. 8.	<i>Orthomorphina rohri</i> (CUSHMAN & STAINFORTH), × 10, S. P. 204.	365
Fig. 9.	<i>Buliminella grata</i> PARKER & BERMUDEZ, × 35, S. 355.	366
Fig. 10.	<i>Bulimina jarvisi</i> CUSHMAN & PARKER, × 35, S. 355.	366
Fig. 11.	<i>Bulimina macilenta</i> CUSHMAN & PARKER, × 35, S. 355.	366
Fig. 12.	<i>Bulimina ovata</i> D'ORBIGNY, × 18, S. 911. Seiten- und Mündungsansicht.	366
Fig. 13.	<i>Virgulina ciperana</i> CUSHMAN & STAINFORTH, × 50, S. 870.	367
Fig. 14, 15.	<i>Virgulina</i> sp. ind., × 18. 14, junges Exemplar, S. 1009. 15, S. 928.	367
Fig. 16, 17.	<i>Bolivina</i> cf. <i>tectiformis</i> CUSHMAN, × 35, S. 866. 16, A-Form. 17, B-Form.	367
Fig. 18.	<i>Uvigerina nuttalli</i> CUSHMAN & EDWARDS, × 35, S. P. 211.	368
Fig. 19.	<i>Uvigerina spinicostata</i> CUSHMAN & JARVIS, × 35, S. 867.	368
Fig. 20.	<i>Siphogenerina raphanus</i> (PARKER & JONES), × 18, S. P. 203. B. Seiten- und Mündungsansicht.	368
Fig. 21.	<i>Siphogenerina</i> sp. aff. <i>transversa</i> CUSHMAN, × 18, S. 831.	368
Fig. 22.	<i>Siphogenerina</i> sp. ind., × 18, S. 848.	369
Fig. 23.	<i>Stilostomella annulifera</i> (CUSHMAN & BERMUDEZ), × 10, Mündungsansicht × 25, S. P. 206.	370
Fig. 24, 25.	<i>Stilostomella consobrina</i> (D'ORBIGNY), × 35, S. 867. 24, A-Form. 25, B-Form.	370
Fig. 26, 27.	<i>Stilostomella curvatura</i> (CUSHMAN), × 10. 26, B-Form, S. P. 205. 27, A-Form, S. 870.	370
Fig. 28.	<i>Stilostomella curvatura</i> (CUSHMAN), var. <i>spinea</i> (CUSHMAN), × 18, S. P. 207.	370
Fig. 29, 30.	<i>Stilostomella decurta</i> (BERMUDEZ), × 18. 29, S. 895. 30, S. 1104.	371
Fig. 31.	<i>Stilostomella matanzana</i> (PALMER & BERMUDEZ), × 35, S. 867.	371
Fig. 32.	<i>Stilostomella modesta</i> (BERMUDEZ), × 35, Mündungsansicht × 50, S. 352.	371
Fig. 33.	<i>Stilostomella abyssorum</i> (BRADY), × 10, Mündungsansicht × 25, S. 849.	369
Fig. 34.	<i>Stilostomella abyssorum</i> (BRADY), var. <i>aculeata</i> (CUSHMAN & RENZ), × 18, S. 822.	369
Fig. 35.	<i>Stilostomella abyssorum</i> (BRADY), var. <i>gracillima</i> (CUSHMAN & JARVIS), × 18, S. 849.	369
Fig. 36, 37.	<i>Stilostomella subspinosa</i> (CUSHMAN), × 18, S. 896. 36, B-Form, Mündungsansicht × 25. 37, A-Form.	371
Fig. 38.	<i>Stilostomella tuckerae</i> (HADLEY), × 18, S. 870.	372
Fig. 39, 40.	<i>Stilostomella verneuili</i> (D'ORBIGNY), × 10. 39, S. 868. 40, S. 790.	372
Fig. 41.	<i>Stilostomella</i> ? sp. ind., × 10, Mündung × 35, S. 868.	372



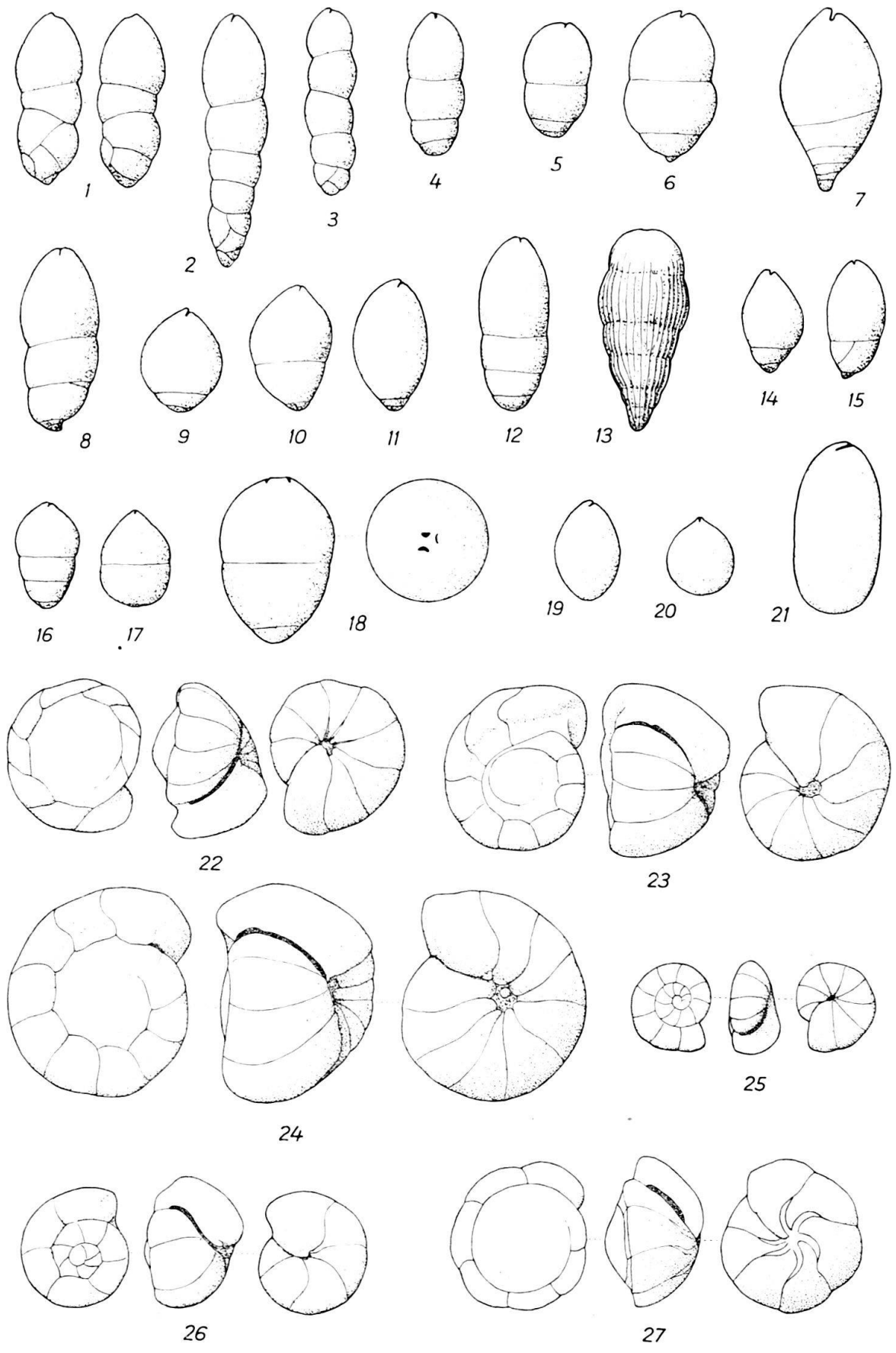
TAFEL XXII

Fig. 1.	<i>Pleurostomella</i> cf. <i>acuta</i> HANTKEN, × 18, Lokalität S. 852.	372
Fig. 2.	<i>Pleurostomella</i> cf. <i>alazanensis</i> CUSHMAN, × 18, S. 352.	373
Fig. 3.	<i>Pleurostomella alternans</i> SCHWAGER, × 25, S. 237.	373
Fig. 4, 5.	<i>Pleurostomella bellardii</i> HANTKEN, × 18. 4, S. 838. 5, S. P. 210.	373
Fig. 6.	<i>Pleurostomella bierigi</i> PALMER & BERMUDEZ, × 18, S. 433.	373
Fig. 7, 8.	<i>Pleurostomella brevis</i> SCHWAGER, × 18. S. 910.	374
Fig. 9.	<i>Pleurostomella ecuadorana</i> CUSHMAN & STAINFORTH, × 18, S. 204.	374
Fig. 10.	<i>Pleurostomella naranjoensis</i> CUSHMAN & BERMUDEZ, × 25, S. 182.	374
Fig. 11, 12.	<i>Pleurostomella nuttalli</i> CUSHMAN & SIEGFUS, × 18. 11, S. 211. 12, S. 849.	374
Fig. 13, 14.	<i>Pleurostomella obesa</i> CUSHMAN & BERMUDEZ, × 25. 13, S. 1200. 14, S. 914.	375
Fig. 15–17.	<i>Pleurostomella praegerontica</i> CUSHMAN & STAINFORTH, × 18. 15, S. 868. 16, S. 870. 17, S. 1284.	375
Fig. 18.	<i>Pleurostomella rimosa</i> CUSHMAN & BERMUDEZ, × 18, S. 830.	375
Fig. 19.	<i>Pleurostomella subcylindrica</i> (CUSHMAN), × 35, S. 835.	375
Fig. 20.	<i>Ellipsopleurostomella schlichti</i> SILVESTRI, × 18, S. 829.	375
Fig. 21.	<i>Nodosarella constricta</i> CUSHMAN & BERMUDEZ, × 18, S. 858.	376
Fig. 22, 23.	<i>Nodosarella mappa</i> (CUSHMAN & JARVIS), × 18. S. 833.	376
Fig. 24.	<i>Nodosarella paleocenica</i> CUSHMAN & TODD, × 25, S. 233.	376
Fig. 25–27.	<i>Nodosarella robusta</i> CUSHMAN, × 18. 25, S. 833. 26, S. P. 206. 27, S. 352.	376
Fig. 28, 29.	<i>Nodosarella salmojraghii</i> MARTINOTTI, × 18. 28, S. 1104. 29, S. 419.	377
Fig. 30, 31.	<i>Nodosarella subnodosa</i> (GUPPY), × 18. 30, S. 825. 31, S. 352.	377
Fig. 32.	<i>Nodosarella</i> sp. ind., × 10, S. 352.	377



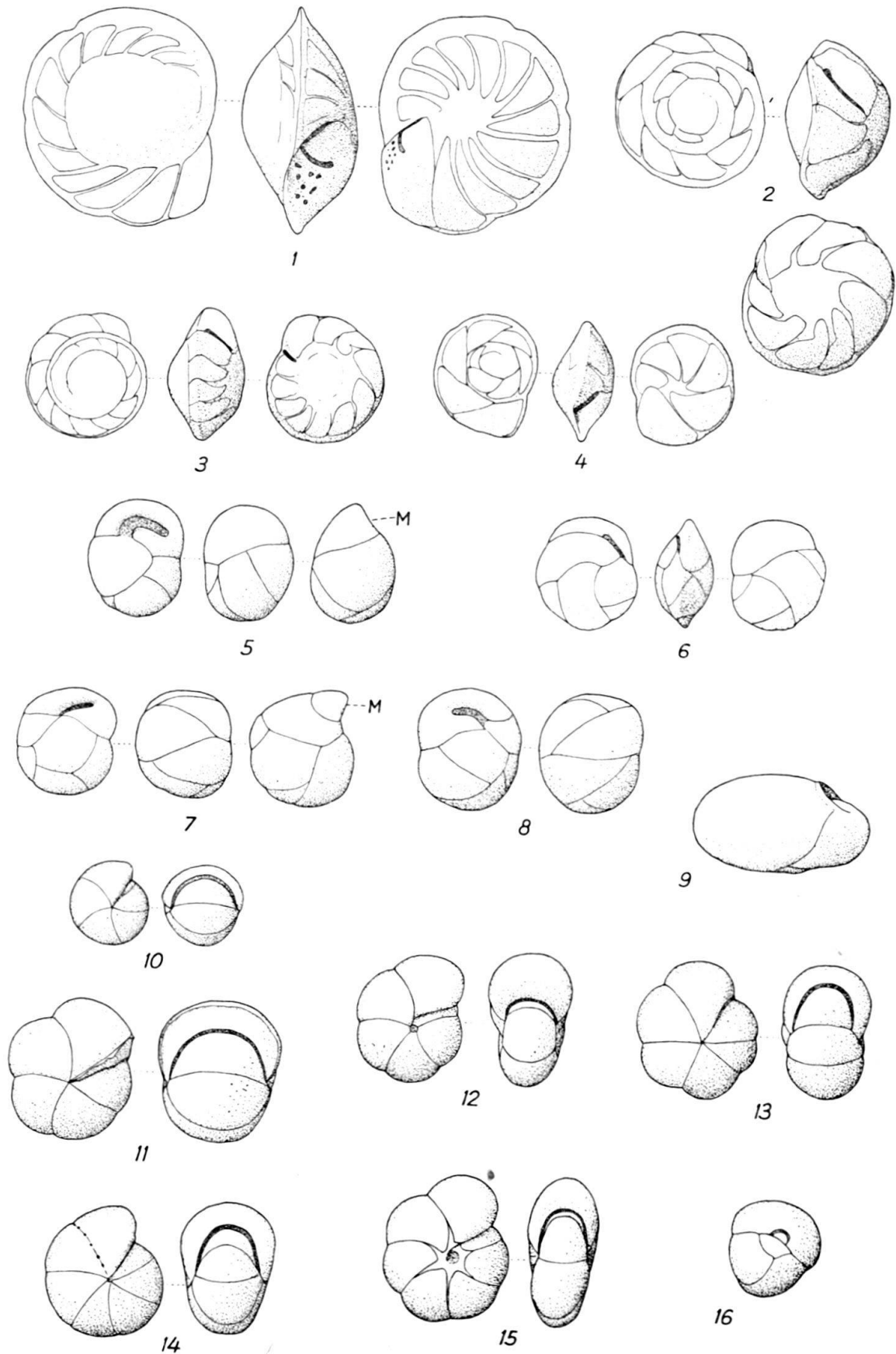
TAFEL XXIII

Fig. 1-4.	<i>Ellipsodimorphina subcompacta</i> LIEBUS, × 25. 1, Exemplar mit triserialer Basis, Lokalität S. 182. 2, do., S. 268. C. 3, Exemplar mit biserialer Basis, S. 268. C. 4, uniseriales Exemplar, S. 219.	378
Fig. 5, 6.	<i>Ellipsoglandulina exponens</i> (BRADY). 5, × 25, S. 188. 6, × 18, S. 822.	378
Fig. 7.	<i>Ellipsoglandulina</i> sp. aff. <i>fragilis</i> BRAMLETTE, × 25, S. 838.	379
Fig. 8.	<i>Ellipsoglandulina</i> cf. <i>inaequalis</i> SILVESTRI, × 18, S. 827.	379
Fig. 9-11.	<i>Ellipsoglandulina labiata</i> (SCHWAGER). 9, × 18, S. 850. 10, × 18, S. 895. 11, × 25, S. 262.	379
Fig. 12.	<i>Ellipsoglandulina</i> cf. <i>laevigata</i> SILVESTRI, × 18, S. 910.	379
Fig. 13.	<i>Ellipsoglandulina multicostata</i> (GALLOWAY & MORREY), × 18, S. 833.	380
Fig. 14, 15.	<i>Ellipsoglandulina principiensis</i> CUSHMAN & BERMUDEZ, × 25. 14, uniseriales Exemplar, S. 849. 15, Exemplar mit unregelmässiger biserialer Basis, S. 871.	380
Fig. 16, 17.	<i>Ellipsoglandulina</i> sp. ind., × 18. 16, S. 775. 17, S. 871.	380
Fig. 18.	<i>Pinaria heterosculpta</i> BERMUDEZ, × 18, S. 848. Seiten- und Mündungsansicht.	380
Fig. 19.	<i>Ellipsoidina ellipsoides</i> SEGUENZA, × 18, S. 788.	381
Fig. 20.	<i>Ellipsoidina ellipsoides</i> SEGUENZA, var. <i>abbreviata</i> SEGUENZA, × 18, S. 837.	381
Fig. 21.	<i>Ellipsoidina ellipsoides</i> SEGUENZA, var. <i>oblonga</i> SEGUENZA, × 18, S. 833.	381
Fig. 22.	<i>Gyroidinoides altiformis</i> (R. E. & K. C. STEWART), × 25, S. P. 211. Dorsal-, Seiten- und Ventralansicht.	381
Fig. 23.	<i>Gyroidinoides girardana</i> (REUSS), × 25, S. 827.	382
Fig. 24.	<i>Gyroidinoides girardana</i> (REUSS), var. <i>perampla</i> (CUSHMAN & STAINFORTH), × 25, S. 838	382
Fig. 25.	<i>Gyroidinoides planulata</i> (CUSHMAN & RENZ), × 25, S. 867.	383
Fig. 26.	<i>Gyroidinoides soldanii</i> (D'ORBIGNY), var. <i>octocamerata</i> (CUSHMAN & HANNA), × 25, S. 833	383
Fig. 27.	<i>Eponides umbonatus</i> (REUSS), var. <i>ecuadorensis</i> (GALLOWAY & MORREY), × 25, S. 834.	383



TAFEL XXIV

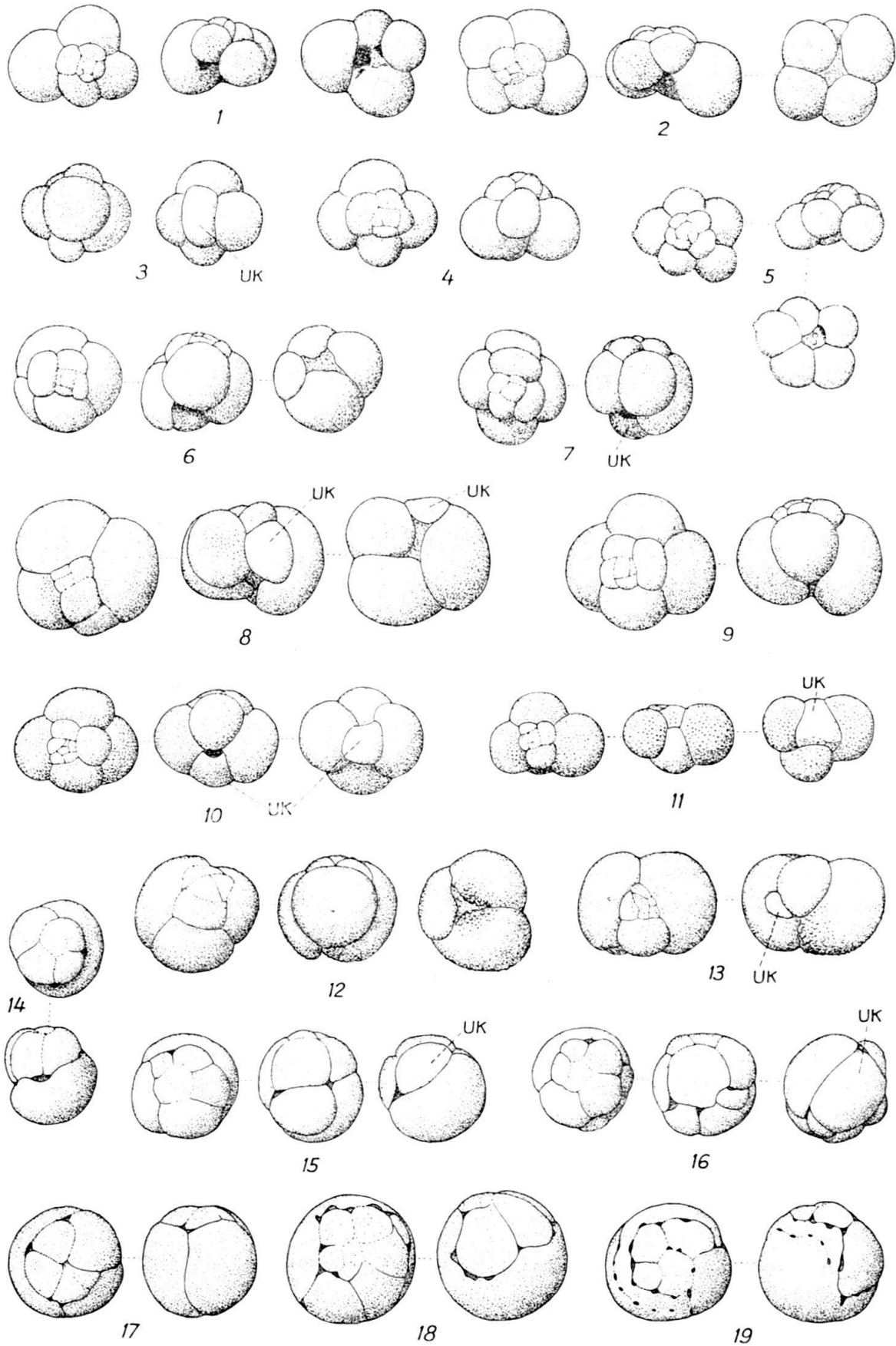
Fig. 1.	<i>Osangularia (Cribroparrella) mexicana</i> (COLE), × 25, Lokalität S. 834. . . .	384
Fig. 2.	<i>Nuttallides trümpyi</i> (NUTTALL), × 25, S. 211.	384
Fig. 3.	<i>Nuttallides trümpyi</i> (NUTTALL), linsenförmige Varietät, × 25, S. 210. . . .	386
Fig. 4.	<i>Alabamina dissonata</i> (CUSHMAN & RENZ), × 35, S. 182.	386
Fig. 5.	<i>Cassidulina caudriae</i> CUSHMAN & STAINFORTH, × 25, S. 845. M = Lage der Mündung auf der Seitenansicht.	387
Fig. 6.	<i>Cassidulina havanensis</i> CUSHMAN & BERMUDEZ, × 25, S. 831.	387
Fig. 7.	<i>Cassidulina subglobosa</i> BRADY, × 25, S. 841. M = Lage der Mündung auf der Seitenansicht.	387
Fig. 8.	<i>Cassidulina subglobosa</i> BRADY, var. <i>horizontalis</i> CUSHMAN & RENZ, × 25, S. P. 211.	388
Fig. 9.	<i>Chilostomelloides ovicula</i> NUTTALL, × 25, S. P. 210.	388
Fig. 10.	<i>Pullenia bulloides</i> (D'ORBIGNY), × 25, S. 268. C.	388
Fig. 11.	<i>Pullenia duplicata</i> STAINFORTH, × 25, S. 1258.	389
Fig. 12, 13.	<i>Pullenia quinqueloba</i> (REUSS), × 25. 12, S. 775. 13, S. 929.	389
Fig. 14.	<i>Pullenia riveroi</i> BERMUDEZ, × 25, S. 833.	389
Fig. 15.	<i>Pullenia trinitatis</i> CUSHMAN & STAINFORTH, × 25, S. 268. C.	389
Fig. 16.	<i>Sphaeroidina bulloides</i> D'ORBIGNY, × 25, S. P. 212.	390



TAFEL XXV

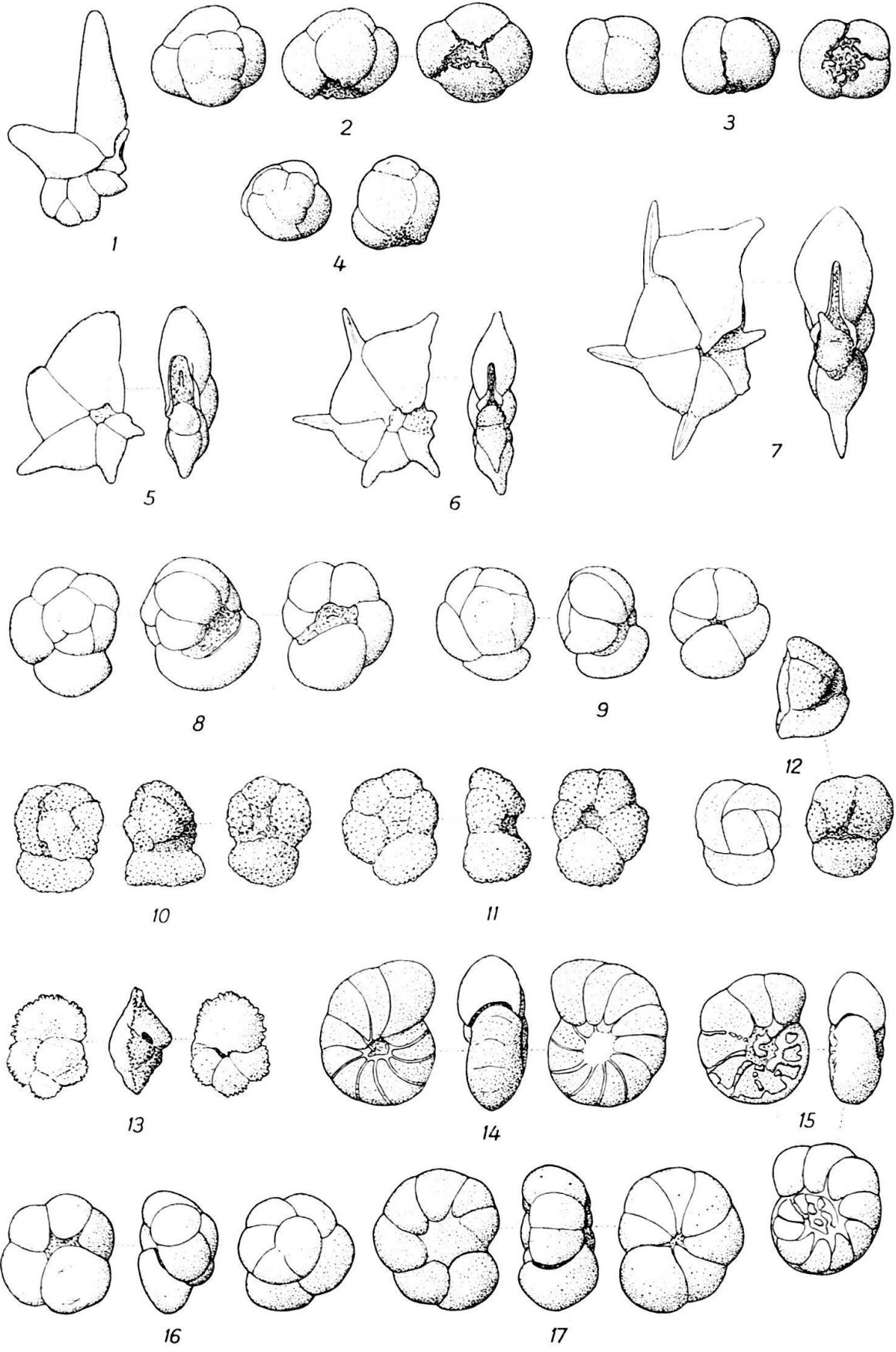
Fig. 1-4.	<i>Globigerina bulloides</i> D'ORBIGNY, × 25. 1, typische Form, Lokalität S. P. 206. 2, Exemplar mit 4½ Kammern im letzten Umgang, S. 834. 3, Exemplar mit Umbilicalkämmerchen (UK), S. P. 206, Seiten- und Ventralansicht. 4, Exemplar mit hoher Dorsalspirale, S. P. 206.	390
Fig. 5.	<i>Globigerina</i> cf. <i>concinna</i> REUSS, × 35, S. 841.	390
Fig. 6-9.	<i>Globigerina conglomerata</i> SCHWAGER, × 25. 6, typische Form, S. 822. 7, Exemplar mit hoher Spirale, S. P. 208. 8, Exemplar mit stark umfassenden Kammern, S. 834. 9, Exemplar mit stark abgesetzten Kammern, S. 834.	391
Fig. 10.	<i>Globigerina dissimilis</i> CUSHMAN & BERMUDEZ, × 25, S. P. 203. B.	391
Fig. 11.	<i>Globigerina eocaena</i> GÜMBEL, × 25, S. 222.	392
Fig. 12, 13.	<i>Globigerina venezuelana</i> HEDBERG, × 25. 12, typische Form, S. P. 203. B. 13, Exemplar mit stark umfassenden Kammern, S. 833.	392
Fig. 14.	<i>Globigerinoides index</i> FINLAY, × 35, S. 224. Dorsal- und Seitenansicht.	392
Fig. 15-19.	<i>Globigerinoides mexicana</i> (CUSHMAN), × 25. 15, 16, S. 204, Dorsal-, Seiten- und Ventralansicht. 17, S. 180. 18, S. 205. 19, S. 206. 17-19, Dorsal- und Seitenansicht.	393

UK = Umbilicalkämmerchen



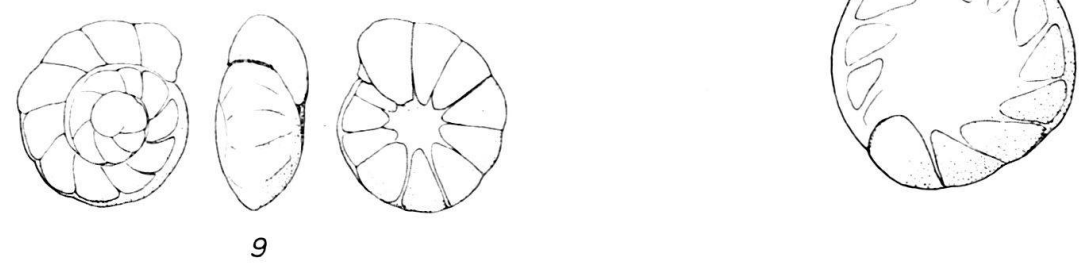
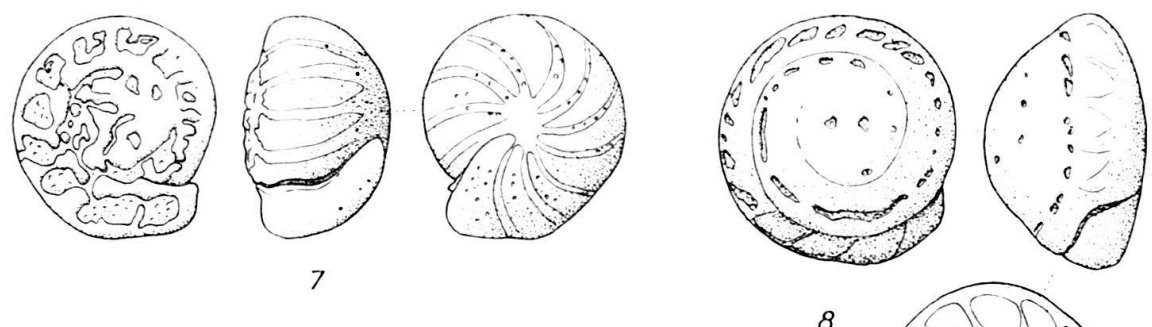
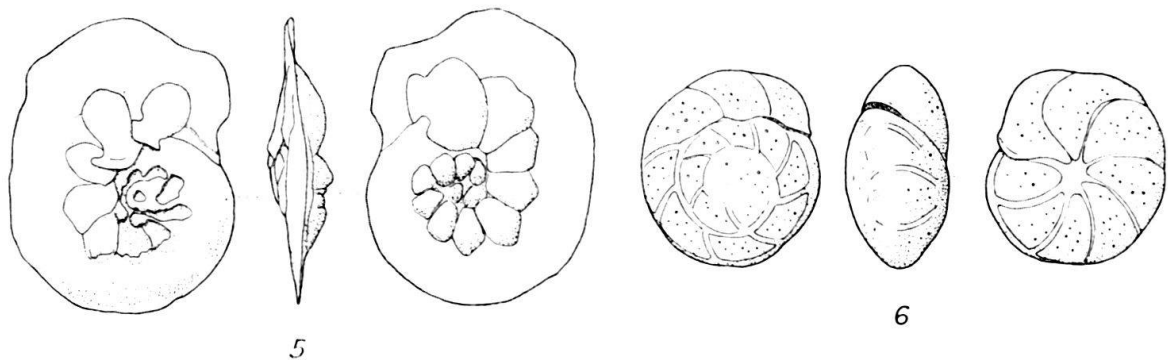
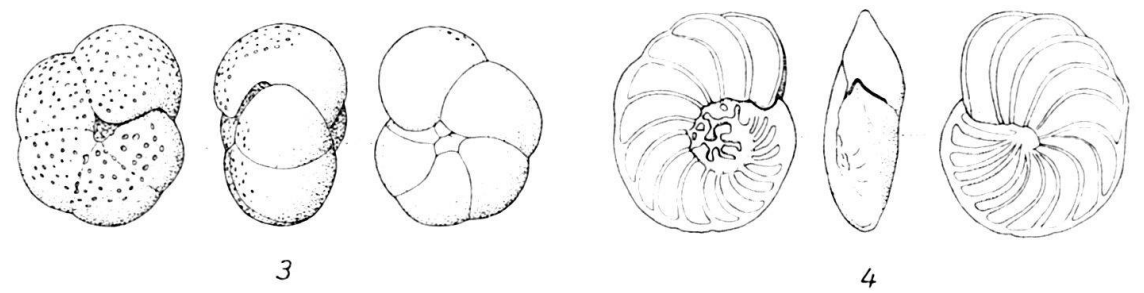
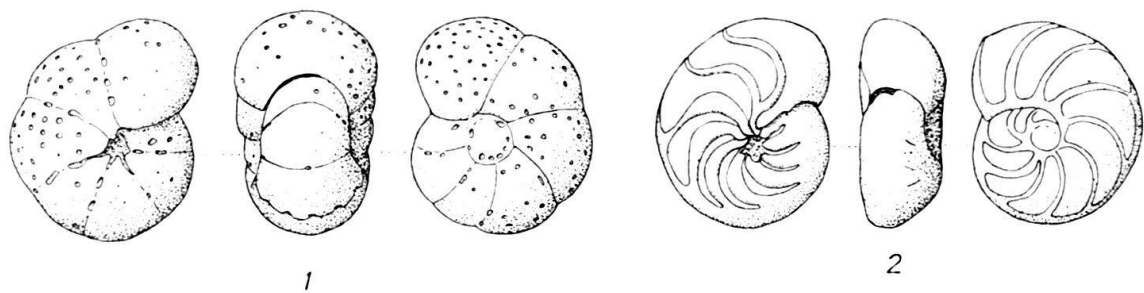
TAFEL XXVI

Fig. 1.	<i>Hastigerinella eocanica</i> NUTTALL, × 25, Lokalität S. 252.	394
Fig. 2-4.	<i>Sphaeroidinella senni</i> n. sp., × 35. 2, Holotyp, S. 209. 3, Exemplar mit niedriger Dorsalspirale, S. 204. 4, Exemplar mit hoher Spirale, S. 209.	394
Fig. 5.	<i>Hantkenina longispina</i> CUSHMAN, × 35, S. 204.	395
Fig. 6.	<i>Hantkenina alabamensis</i> CUSHMAN, × 35, S. 433.	395
Fig. 7.	<i>Hantkenina suprasuturalis</i> BRÖNNIMANN, × 35, S. 433.	396
Fig. 8, 9.	<i>Globorotalia centralis</i> CUSHMAN & BERMUDEZ, × 25. 8, S. 205. 9, S. 224.	396
Fig. 10, 11.	<i>Globorotalia crassata</i> (CUSHMAN), × 35, S. 204.	396
Fig. 12.	<i>Globorotalia crassula</i> CUSHMAN & R. E. STEWART, × 35, S. 204.	397
Fig. 13.	<i>Globorotalia spinulosa</i> CUSHMAN, × 35, S. 428.	397
Fig. 14.	<i>Anomalina alazanensis</i> NUTTALL, var. <i>spissiformis</i> CUSHMAN & STAINFORTH, × 25, S. 868.	399
Fig. 15.	<i>Anomalina bilateralis</i> CUSHMAN, × 25, S. 207	399
Fig. 16, 17.	<i>Anomalina badenensis</i> D'ORBIGNY, × 25. 16, S. 188. 17, S. 870.	399



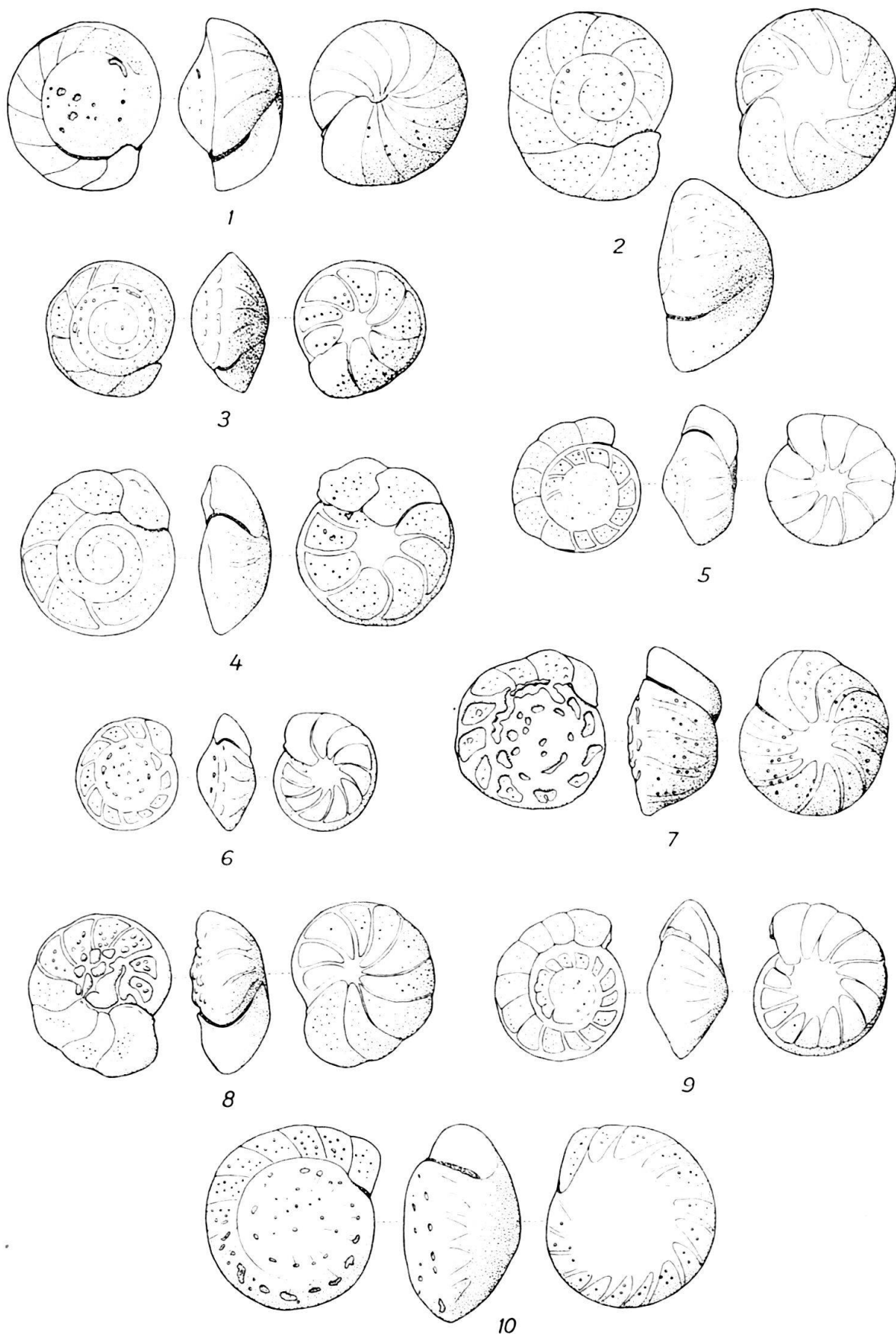
TAFEL XXVII

Fig. 1.	<i>Anomalina dorri</i> COLE, var. <i>aragonensis</i> NUTTALL, × 25, Lokalität S. 212.	399
Fig. 2.	<i>Anomalina illingi</i> (NUTTALL), × 25, S. 827.	400
Fig. 3.	<i>Anomalina pompilioides</i> GALLOWAY & HEMINWAY, var. <i>semicibrata</i> n. var., Holotyp, × 25, S. 830.	400
Fig. 4.	<i>Planulina renzi</i> CUSHMAN & STAINFORTH, × 18, S. 833.	401
Fig. 5.	<i>Laticarinina bullbrooki</i> CUSHMAN & TODD, × 25, S. 355.	401
Fig. 6.	<i>Cibicides cookei</i> CUSHMAN & GARRETT, × 25, S. P. 205.	402
Fig. 7.	<i>Cibicides grimsdalei</i> NUTTALL, × 25, S. 828.	402
Fig. 8.	<i>Cibicides havanensis</i> CUSHMAN & BERMUDEZ, × 25, S. 952.	402
Fig. 9.	<i>Cibicides martinezensis</i> CUSHMAN & BARKSDALE, × 35, S. 220.	402



TAFEL XXVIII

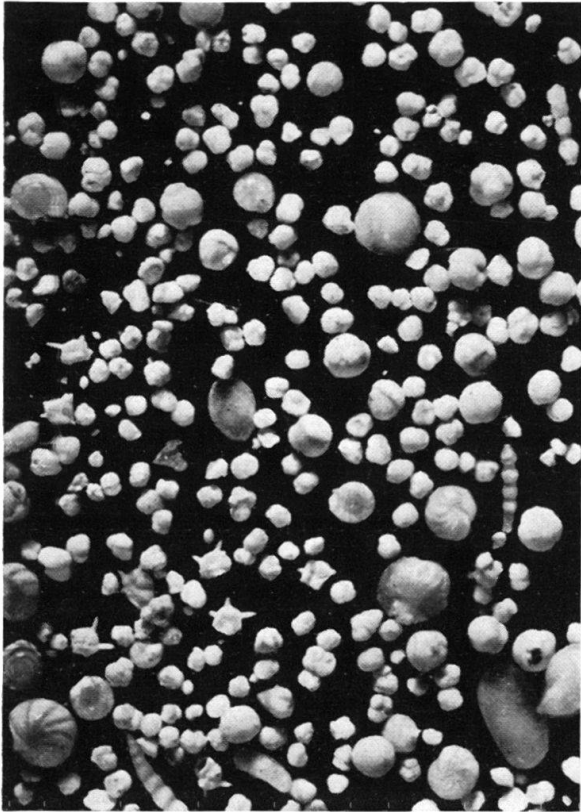
Fig. 1.	<i>Cibicides mexicanus</i> NUTTALL, × 25, Lokalität S. 833.	402
Fig. 2.	<i>Cibicides perlucidus</i> NUTTALL, × 25, S. 788.	403
Fig. 3, 4.	<i>Cibicides pseudoungerianus</i> (CUSHMAN), × 25, S. 895.	403
Fig. 5.	<i>Cibicides robertsonianus</i> (BRADY), var. <i>haitensis</i> CORYELL & RIVERO, × 25, S. 867.	404
Fig. 6.	<i>Cibicides</i> cf. <i>sinistralis</i> CORYELL & RIVERO, × 35, S. 850.	404
Fig. 7.	<i>Cibicides subspiratus</i> NUTTALL, var. <i>limbatus</i> CITA, × 25, S. 204.	404
Fig. 8.	<i>Cibicides trincherasensis</i> BERMUDEZ, × 25, S. 870.	404
Fig. 9, 10.	<i>Cibicides</i> cf. <i>trinitatensis</i> (NUTTALL), × 25. 9, S. 745. 10, S. 408.	404



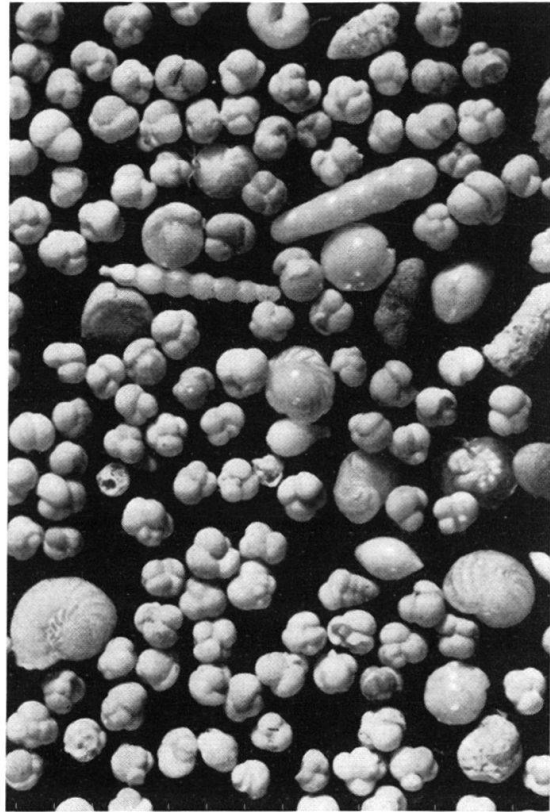
TAFEL XXIX

Faunenbilder

- Fig. 1. Untere Mt.-Hillaby-Schichten (Oberstes Mittel-Eocaen), S. 204. Vorwiegend planktonische Foraminiferen (*Globigerinoides mexicana* (CUSHMAN), kleine Globorotalien, *Hantkenina longispina* CUSHMAN). × 8.
- Fig. 2a Radiolarienerde der Oberen Mt.-Hillaby-Schichten (Ober-Eocaen), S. 791. Radiolarien, Fischzähne und vereinzelte benthonische Foraminiferen. × 8.
- Fig. 2b. Radiolarien aus derselben Fauna. × 25.
- Fig. 3. Codrington-College-Schichten (Unter-Oligocaen), S. 833. Vorwiegend Globigerinen (vor allem *G. conglomerata* SCHWAGER). × 8.



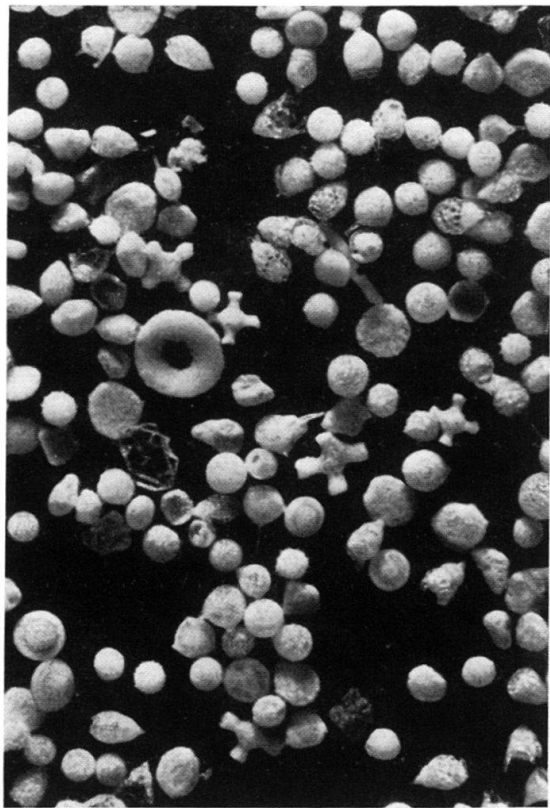
1



3



2a



2b

TAFEL XXX

Vertikale Verbreitung der Foraminiferen innerhalb der Oceanic Formation.

Die foraminiferenführenden Proben sind in regelmässigen Abständen übereinander angeordnet. Die Höhe der einzelnen Abteilungen der Oceanic Formation auf der Tabelle entspricht daher nicht ihrer wahren Mächtigkeit, sondern ist proportional der Anzahl der untersuchten Gesteinsmuster. Durch diese Anordnung konnten die Häufigkeitsschwankungen der einzelnen Arten innerhalb der Oceanic Formation ungefähr im richtigen Verhältnis dargestellt werden. Die Strichdicke gibt die jeweilige Individuenhäufigkeit in einer Probe an.

Die 1.-7. Kolonne der Tabelle geben einen Überblick über die Verteilung der Gesamtfauuna der Oceanic Formation (nach privaten Notizen von A. SENN).

